

レーザー核融合におけるプラズマ診断

～爆縮燃料プラズマ計測を中心として～

白神 宏之

大阪大学レーザーエネルギー学研究中心



第18回若手科学者によるプラズマ研究会

日本原子力研究開発機構 那珂核融合研究所

2015年3月4日

Abstract



レーザー核融合では微小（0.5～5 mm ϕ ）な燃料ターゲットを、レーザー光照射による爆縮という手法で高密度に圧縮し、短時間の内に核融合反応を起こそうという方法である。従って、爆縮された核融合燃料プラズマは、さらに微小（100 μ mオーダー）かつ高速（100 psオーダー）となり、その診断技術には高時間空間同時分解が要求される場合が多い。また、近年になって展開している**高速点火核融合**では、爆縮後に燃料を加熱するために注入照射される超高強度レーザーとプラズマの相互作用で大量のX線（MeV領域にあるので γ 線と呼んでも良い）が発生し、これがX線・中性子計測には強烈なノイズ源となる**過酷環境下でのプラズマ診断**が要求される[1]。

燃料プラズマのダイナミクスを観測するために、**高時間空間分解X線分光画像計測法**を開発してきた[2]。これは超高速（時間分解能2～10 ps）のX線ストリークカメラに画像サンプリング技術を応用したもので、これにより、爆縮燃料プラズマの形成過程、非一様性、球対象爆縮シミュレーションとの差異の比較などの観測が可能となった。

爆縮の基礎過程であるターゲットのアブレーション加速時の研究においては、**X線バックライト法**が用いられる。これは平板ターゲットを正面や横方向からX線の影絵により時間空間分解撮影する手法[3]で、レイリーテイラー不安定性などの物理解明に貢献した[4]。

核融合中性子の計測に関しては、上記の過酷環境下での稼働に耐えうるため、超高速の液体シンチレータ[5]を、また、微弱な散乱中性子信号を捉えるためにLiドープシンチレータを開発した。これらはシングルヒットToF法により使用される。さらに、液体シンチレータとゲートCCDカメラの組み合わせにより中性子画像計測を可能とした。

講演では、これらの診断技術と測定結果の例を紹介する。

[1] H. Shiraga, *et al.*, IAEA/FEC2014, IFE/P6-2 (2014); Y. Arikawa, *et al.*, RSI 83, 10D909 (2012).

[2] H. Shiraga, *et al.*, RSI **75**, 3921 (2004), and references there in.

[3] H. Shiraga *et al.*, RSI **74**, 2194 (2003).

[4] H. Azechi, *et al.*, PRL **98**, 045002 (2007).

[5] T. Nagai, *et al.*, Jpn. J. Appl. Phys. **50**, 080208 (2011).

Project members:



H. Shiraga, S. Fujioka, M. Nakai, T. Watari, H. Nakamura, Y. Arikawa, H. Hosoda, T. Nagai, T. Nagai, Y. Abe, K. Ishihara, S. Kojima, S. Sakata, M. Taga, T. Ikenouchi, H. Inoue, T. Utsugi, S. Hattori, H. Lee, M. Koga, H. Kikuchi, Y. Ishii, T. Sogo, K. Shigemori, H. Nishimura, Z. Zhang, M. Tanabe, S. Ohira, Y. Fujii, T. Namimoto, Y. Sakawa, O. Maegawa, K. Shimada, H. Nagatomo, M. Murakami, T. Norimatsu, H. Homma, Y. Fujimoto, N. Miyanaga, J. Kawanaka, T. Jitsuno, Y. Nakata, K. Tsubakimoto, N. Morio, T. Kawasaki, K. Sawai, K. Tsuji, H. Murakami, N. Sarukura, T. Shimizu, K. Mima, and H. Azechi

(ILE, Osaka University)

H. Sakagami, T. Ozaki, A. Iwamoto, M. Hata, T. Yanagawa

(NIFS)

T. Johzaki

(Hiroshima University)

A. Sunahara

(Institute for Laser Technology)

T. Taguchi

(Setsunan University)

T. Kanabe

(Fukui University)

K. Kondo

(JAEA-KPSI)

M. Key

(LLNL)

P. Norreys

(Rutherford Appleton Lab)

J. Pasley

(University of York)

Contents of the talk



1. FIREX project

Fast Ignition research

Experiments with LFEX laser

2. Ultra-fast X-ray imaging diagnostics

Sampling-image x-ray streak camera

3. Hard x-ray and EMP harsh environment

X-ray framing cameras

X-ray streak cameras

4. Neutron diagnostics

Neutron detectors in (γ , n) environment

Scattered neutron measurement

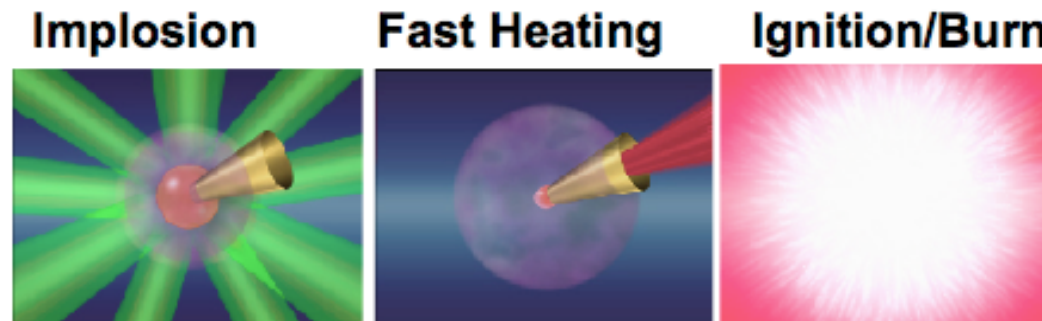
Time-resolved neutron imaging

5. Summary

1. FIREX, Fast Ignition Realization Exp't

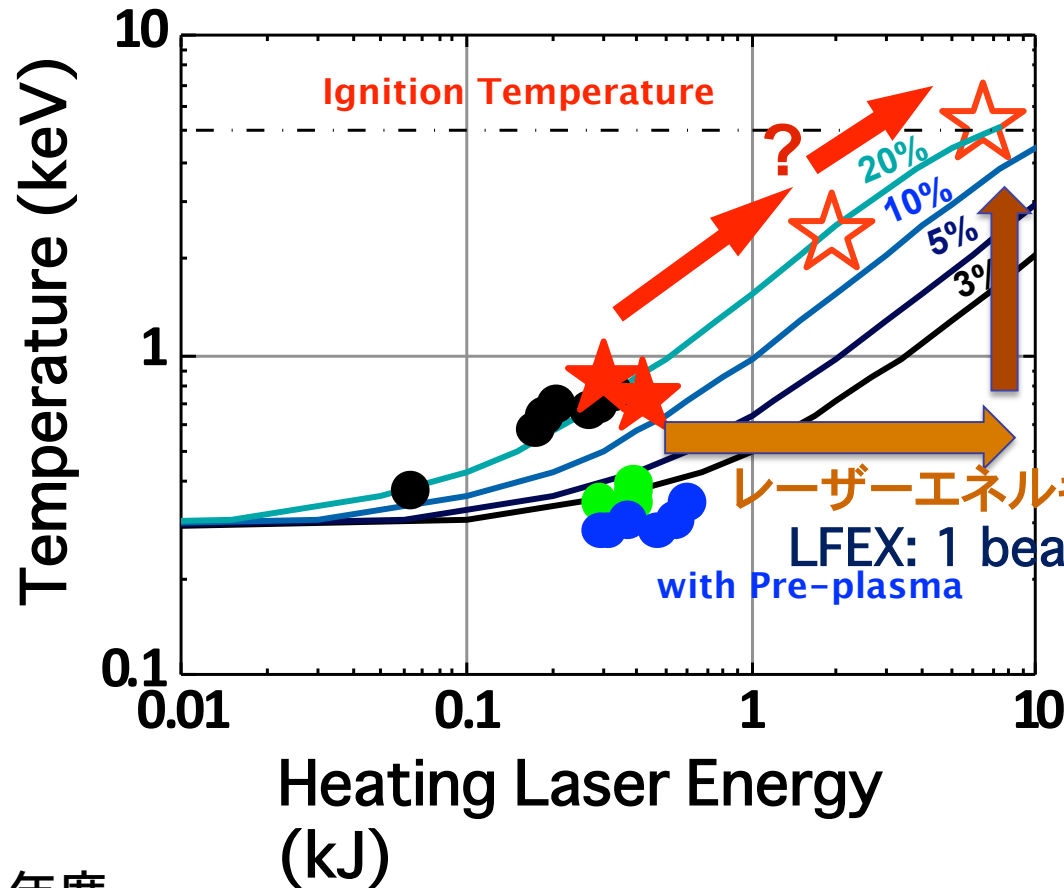


ILE OSAKA



- **preliminary: Demo of 600 times liquid density
Demo of 1 keV temp. by 1kJ/1ps.**
- **FIREX-I : Demo of 5-10 keV temperature by 10kJ/10ps.**
- **FIREX-II: Demo of ignition and burn by FI**

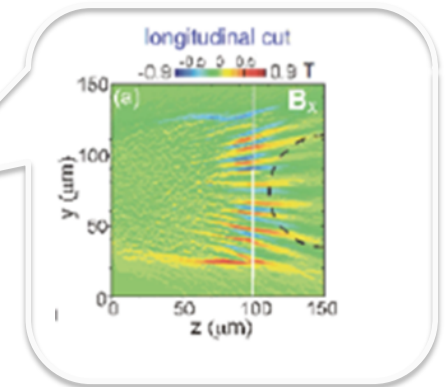
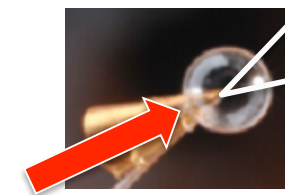
点火温度へのアプローチ



加熱効率の向上
Cool REB
Guided REB

レーザーエネルギーの増大

LFX: 1 beam to 4 beams
with Pre-plasma



レーザーエネルギーの増大
加熱効率の向上

- | | | |
|------|-------------|-----------|
| 年度 | | |
| 2013 | | |
| 2014 | 4ビーム完成 | 加熱の基礎 |
| 2015 | | 加熱スケールアップ |
| 2016 | チェックアンドレビュー | 5-keV 加熱 |

Integrated experiment of Fast Ignition

Cone-attached surrogate fuel capsules were compressed by GEKKO-XII and heated by LFEX lasers

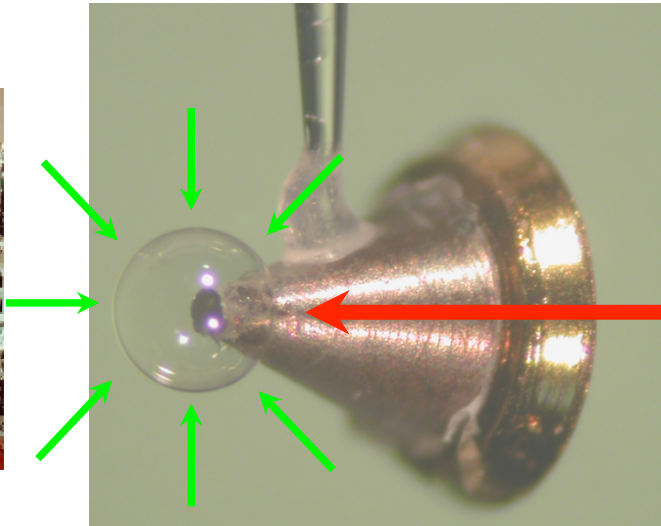


**Compression Laser:
GEKKO-XII**



Beam# 9/12 beams
Energy 250-350 J/beam
(2.5 kJ total)
Duration 1.5 ns
(Flat top)
Wavelength 527 nm

Fusion Fuel Target



Shell
Diameter 500 μm
Thickness 7 μm
Material CD plastic
Cone
Angle 45 deg.
Material Gold, DLC, etc

**Heating Laser:
LFEX**



Beam# 4 beam
Energy 200 ~ 3000 J
Duration 1.0 - 4 ps
Wavelength 1053 nm

激光XII号レーザー & LFEXレーザー

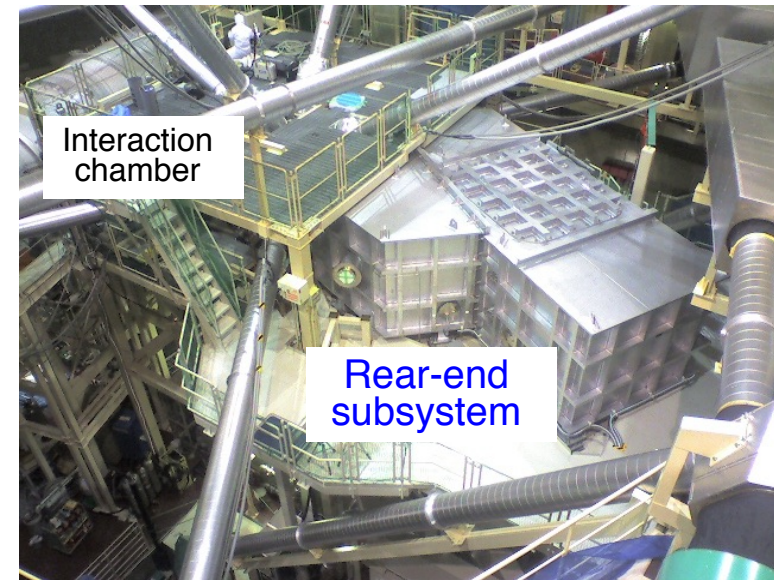
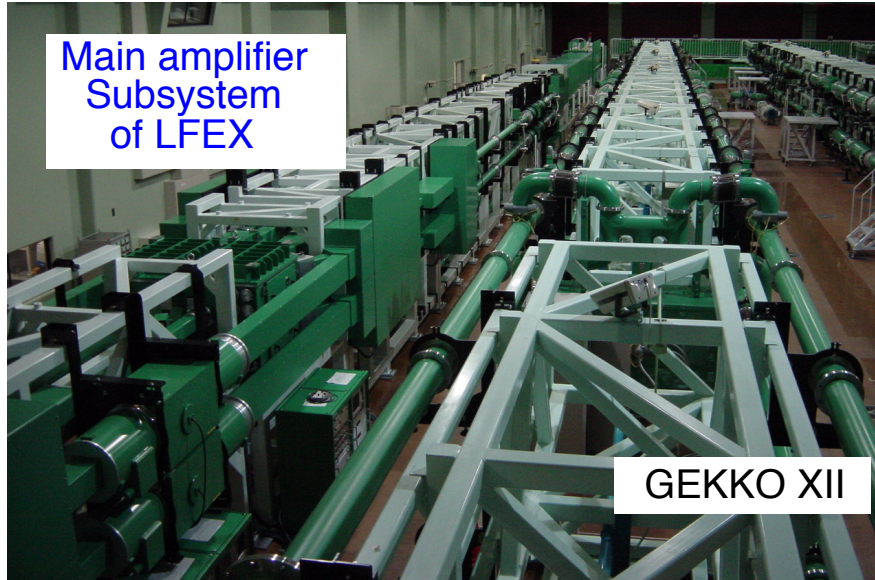
LFEX laser completed in 2008



LFEX: $10\text{kJ}/1\text{ps}=10\text{PW}$

GXII: $10\text{kJ}/1\text{ns}=10\text{TW}$

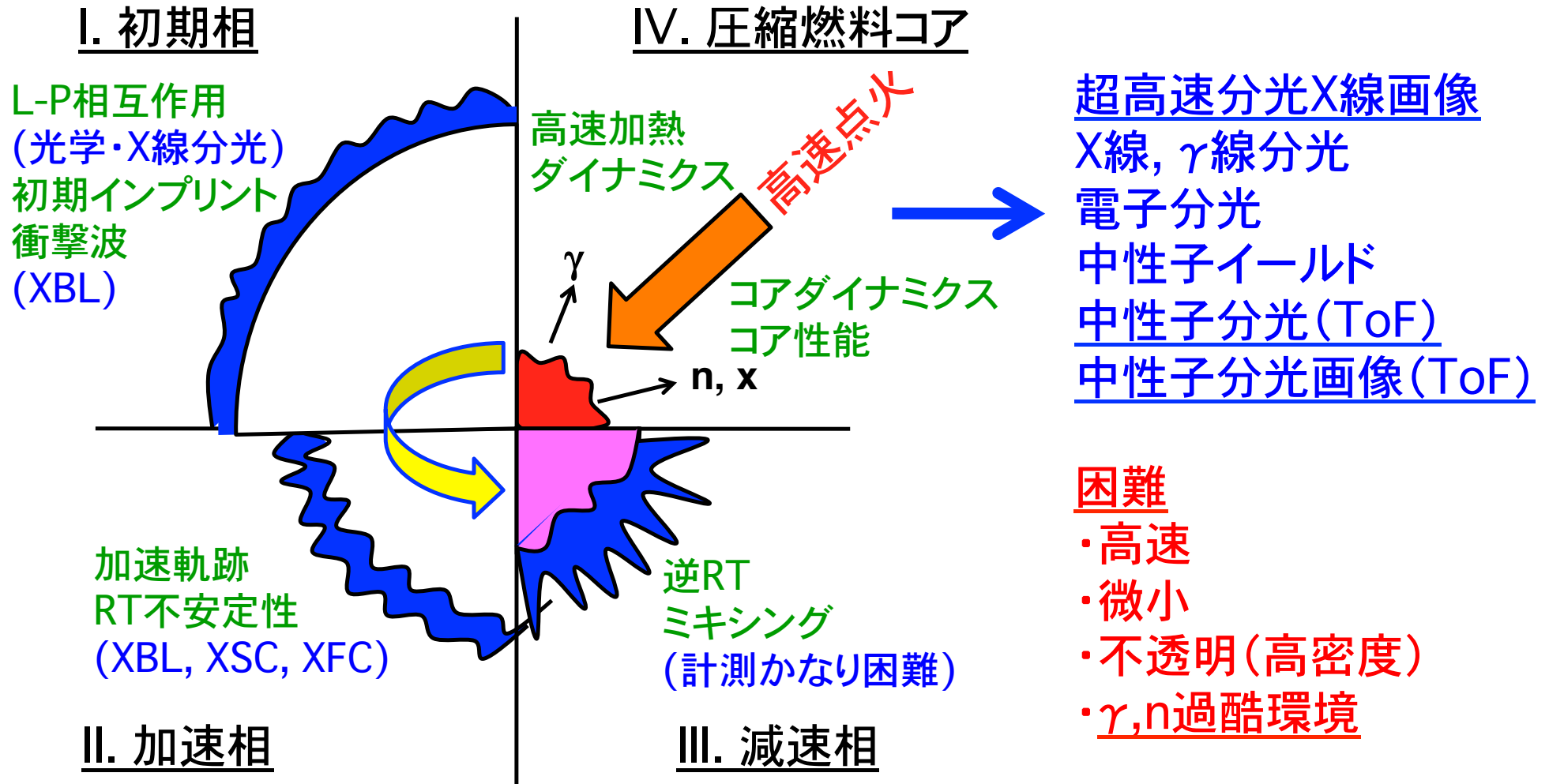
LFEX laser – construction, tuning & exp't



- Nov, 2008 Precision alignment of pulse compressor
- Dec, 2008 *Target irradiation with high-power beam started*
- Feb, 2009 *Irradiation of Fast Ignition (FI) target started*
- Sept, 2009 *FI integrated experiment (1 ps) / 1 beam*
- Aug, 2010 *FI integrated experiment (1 ps) / 2 beams*
- Nov, 2014 *FI physics experiment (1 ps) / 4 beams*
- 2015 – 2016 *Fuel temperature of 5 keV*



レーザー核融合におけるプラズマ診断

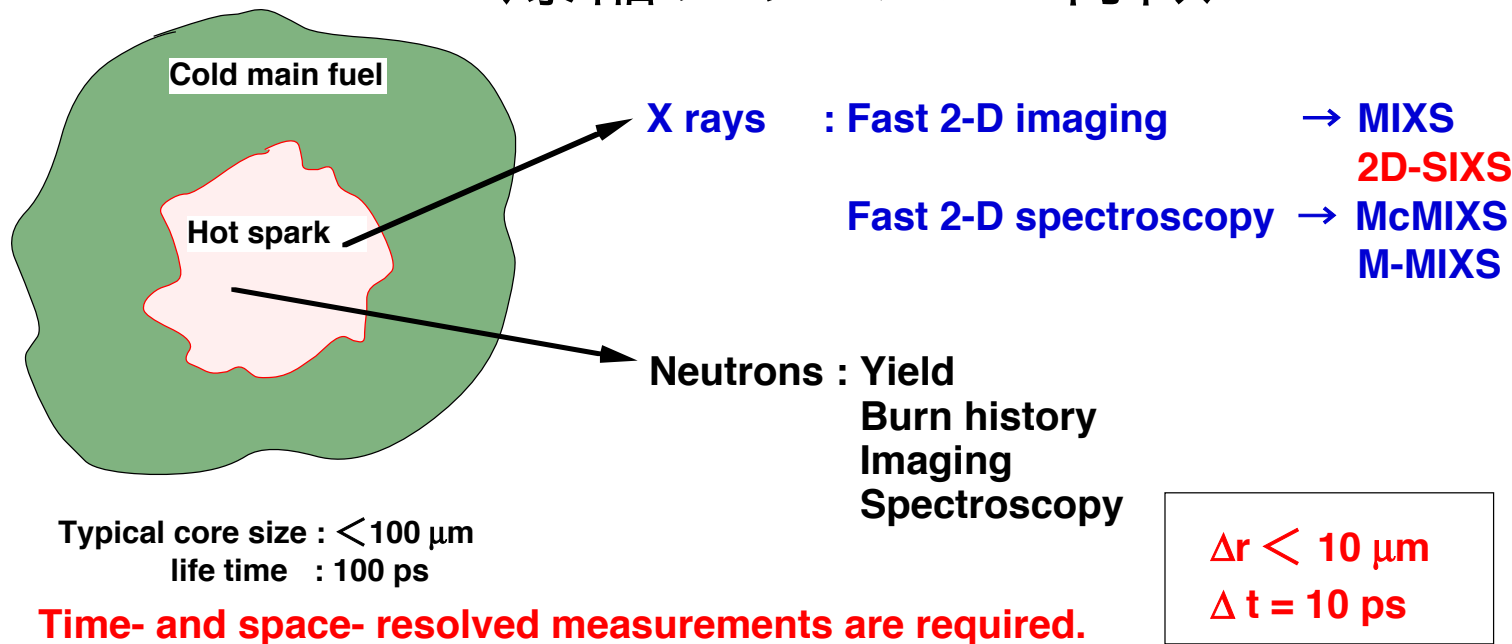


爆縮コア計測について：

超高分解プラズマ診断が求められている



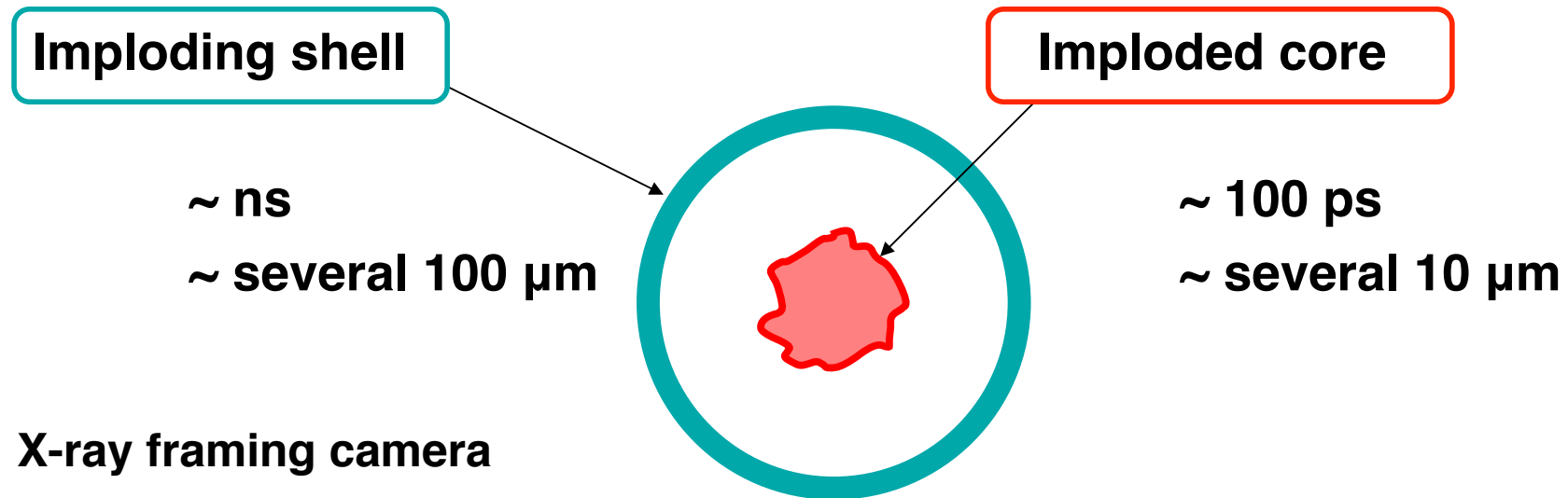
ICF爆縮プラズマの特徴



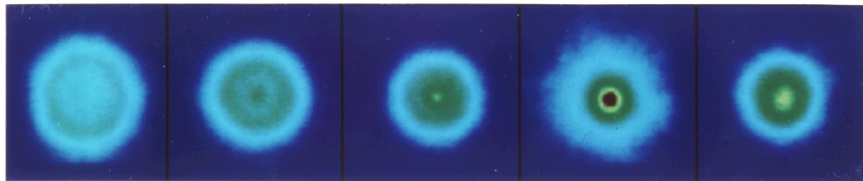
速い : コア寿命 $\sim 100\text{ps}$ → $\Delta t = 10\text{ps}$ 必要
小さい : コアサイズ $\sim 100 \mu\text{m}$ → $\Delta r = 10 \mu\text{s}$ 必要
不透明 : 高エネルギーX線、中性子計測が重要
 γ, n 過酷環境 : 遮蔽、コリメーション

2. Ultra-Fast X-Ray Imaging is essential

Ultrafast x-ray imaging is needed for ICF research.



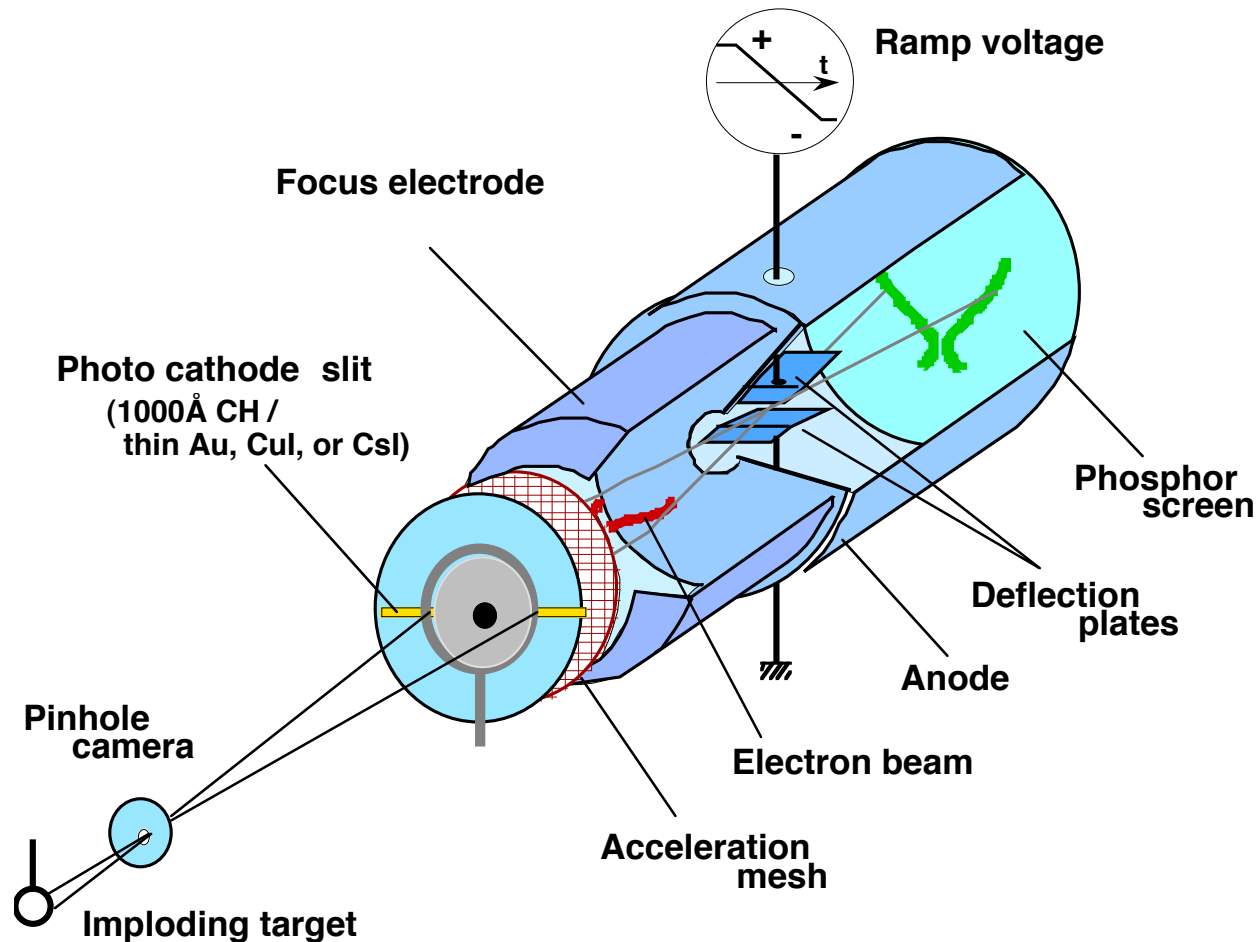
X-ray framing camera
with gated MCP
(40-80 ps resolution)



<10 ps imaging is required for observation of core dynamics.

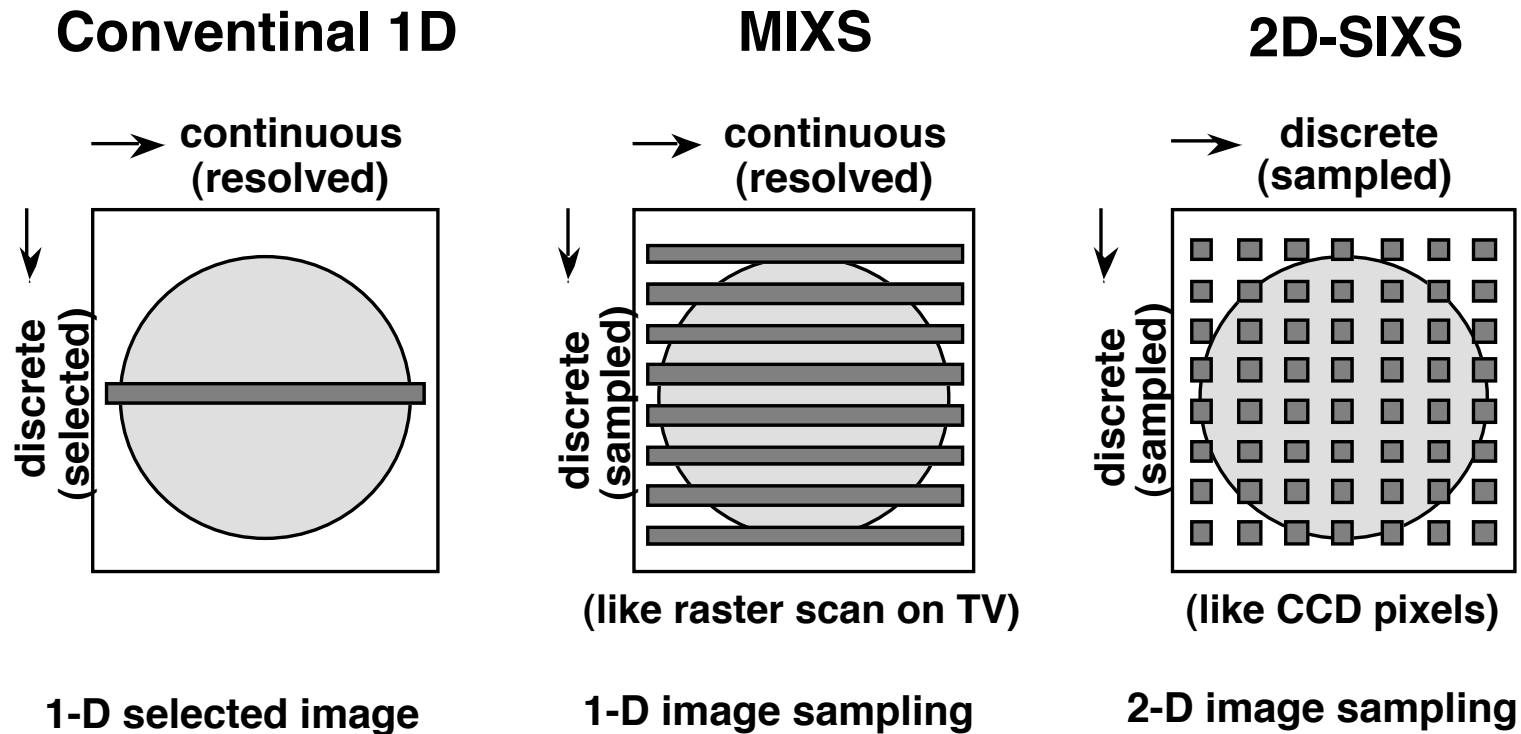
Ultrafast imaging by x-ray streak camera

So far, only x-ray streak cameras have resolutions < 10 ps.
However, in conventional use, only 1D imaging is available.



→ We need a trick to use it for 2D imaging.

Image sampling is essential for 2D imaging on a streak camera



Many types of efforts have been made to demonstrate 2D imaging on a streak camera.

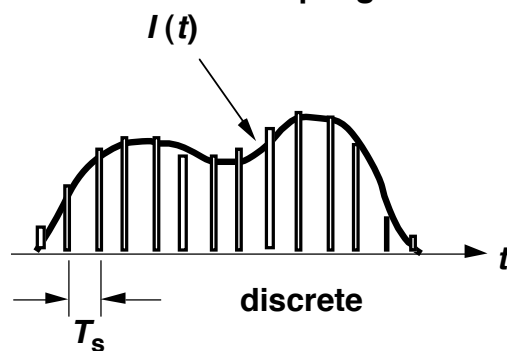
--- How to avoid overlapping of the data when streaked?

Sampling on single image / repetitive signal

Waveform

Single signal

Waveform sampling

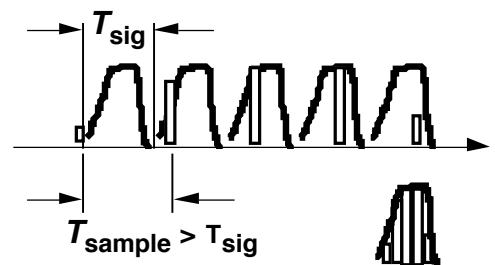


$$T_s \leq (1/2)\Delta t$$

Ex. Sampling oscilloscope

Repetitive signal

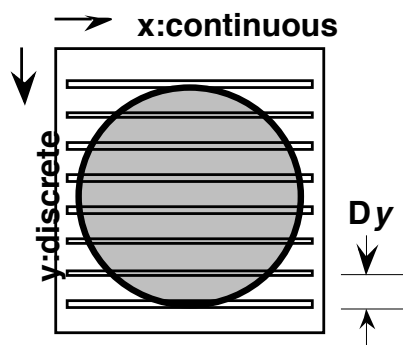
Sampling on repetitive signal



Reconstructed waveform

2D image

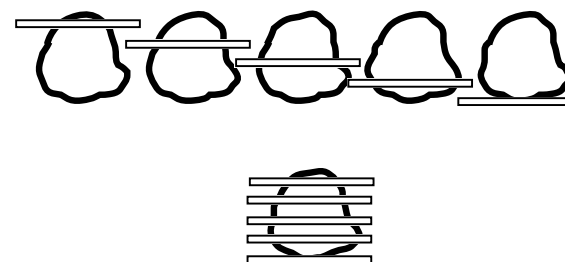
1-D image sampling (Sultanoff)



$$\Delta y \leq (1/2)\Delta r$$

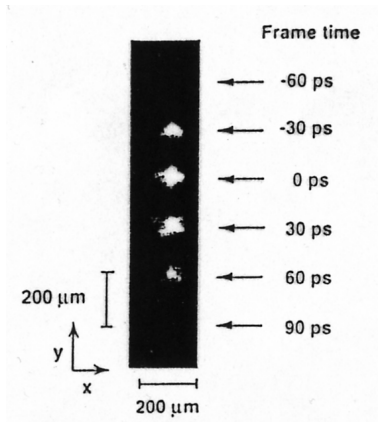
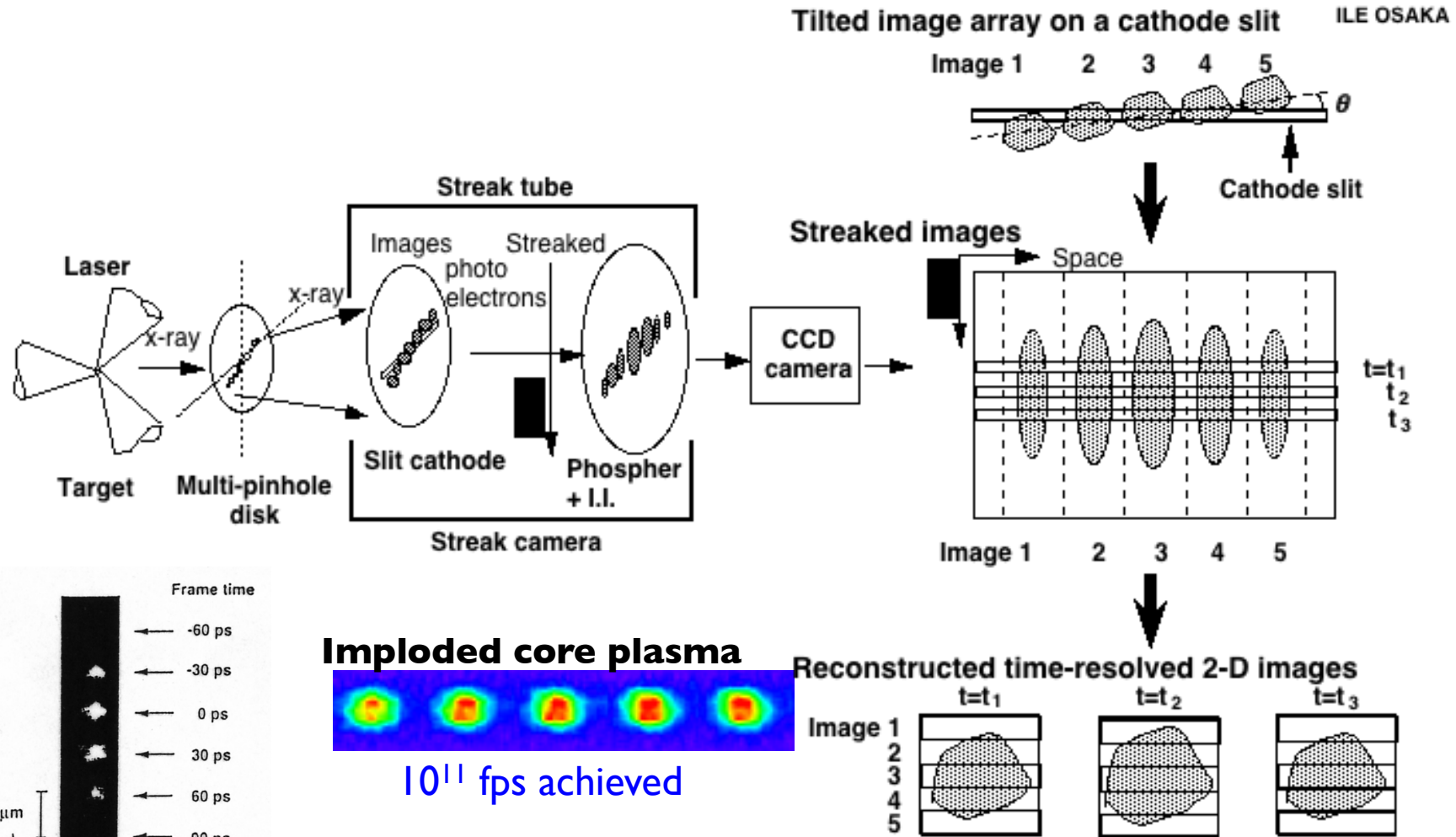
Ex. TV raster scan

Sampling on repetitive image (MIXS)

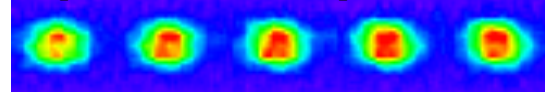


Reconstructed 2D image

Principle of multi-imaging x-ray streak camera (MIXS) to obtain time-resolved 2-D x-ray images

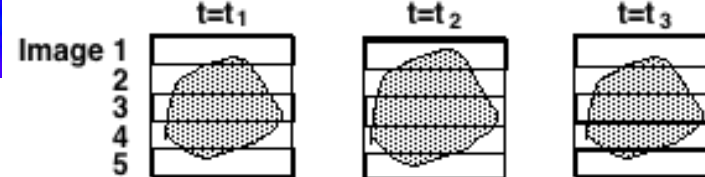


Imploded core plasma



10^{11} fps achieved

Reconstructed time-resolved 2-D images



1) O. L. Landen,
RSI. 63, 5075 (1992).

2) H. Shiraga, et al.,
RSI. 66, 722 (1995).

3) H. Shiraga, et al.,
RSI. 68, 745 (1997).

Advantages of MIXS

1. Easy to obtain 10 ps or better resolution
2. Continuous in time
 - no lost signals between frames
3. After sampling, no image distortion
4. Choice of spectral response
5. Spectroscopic applications

Disadvantages

1. Small field of view
2. Not suitable for objectives larger than the field of view

Implosion experiment of FI cone-shell target at OMEGA laser



Purpose: to investigate

- **Core formation in cone-shell target**
- **Core & cone plasma dynamics**
- **Core-cone interaction**

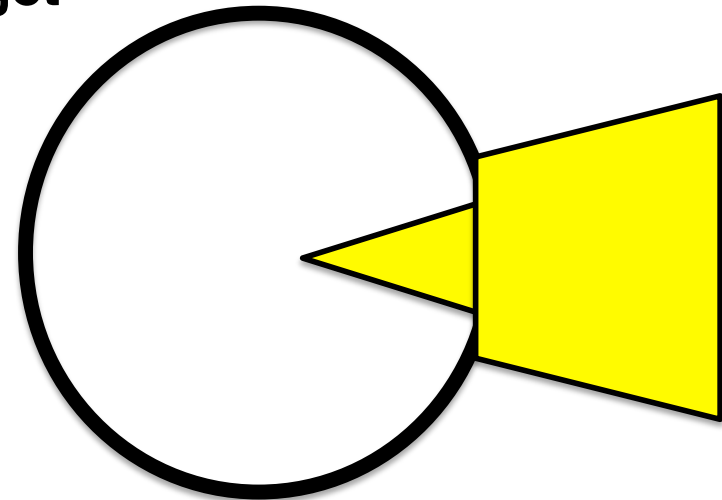
Team:

ILE, Osaka University

LLE, University of Rochester

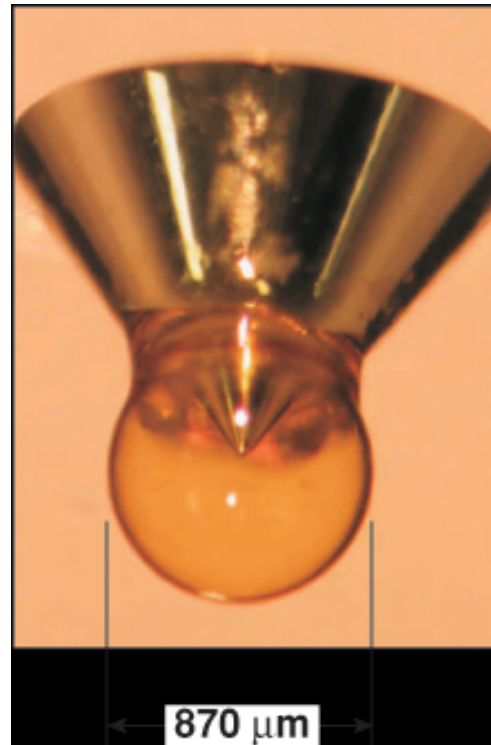
General Atomic

Lawrence Livermore National Lab.



Experimental set up

Laser:
35 beams
15 kJ/1 ns SQ
($\sim 10^{15}$ W/cm²)



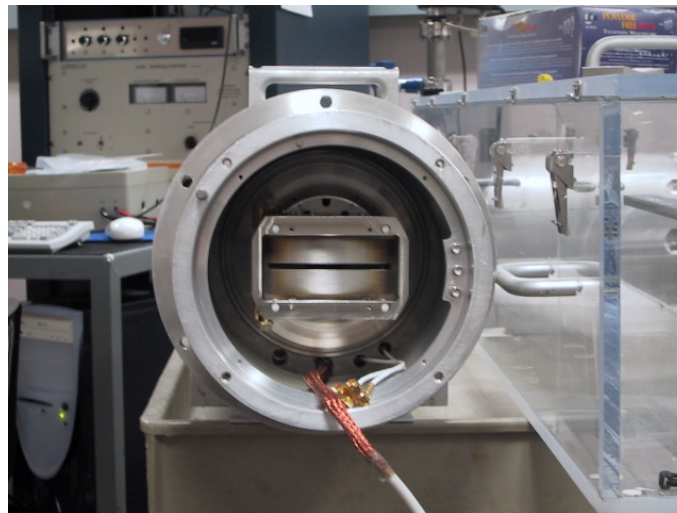
Target:
70deg Au cone

CH shell:
900 μm in diameter
20 μm thick
D₂ or D³He: 0, 5-10 atm

Diagnostics: MIXS, XFC, XPHC, Yn, etc

PJX x-ray streak camera

- Developed at LLE, Rochester*
- 6-cm long KBr photocathode
- Photoelectrons accelerated through a slot, focused with a quadrupole doublet
- Fiber-coupled, back-illuminated CCD recorder
- D range $\gg 1000$
- Temporal resolution < 10 ps

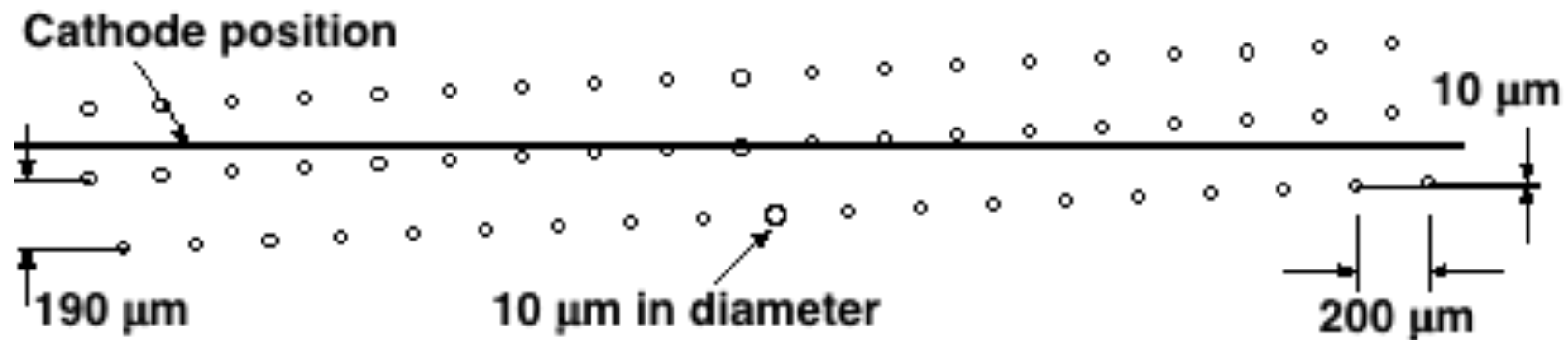


* by P. Jaanimagi

Pinhole arrays for MIXS imager



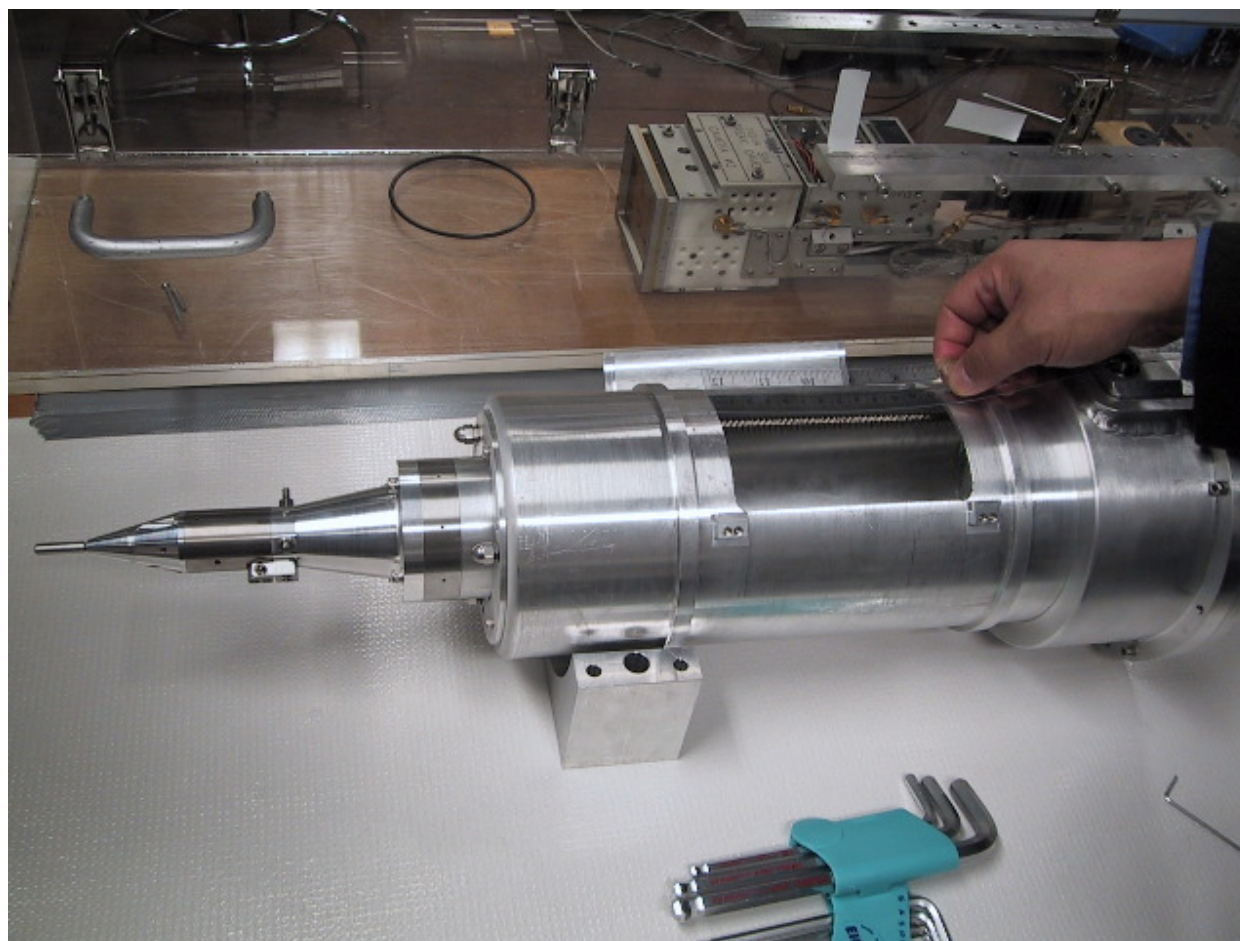
ILE OSAKA



3 arrays x 19 pinholes
M=12x

Initial alignment of MIXS is very tight (in y direction).
3-arrays allow much tolerance for misalignment.

MIXS imager in retractor for PJX



MIXS-PJX system

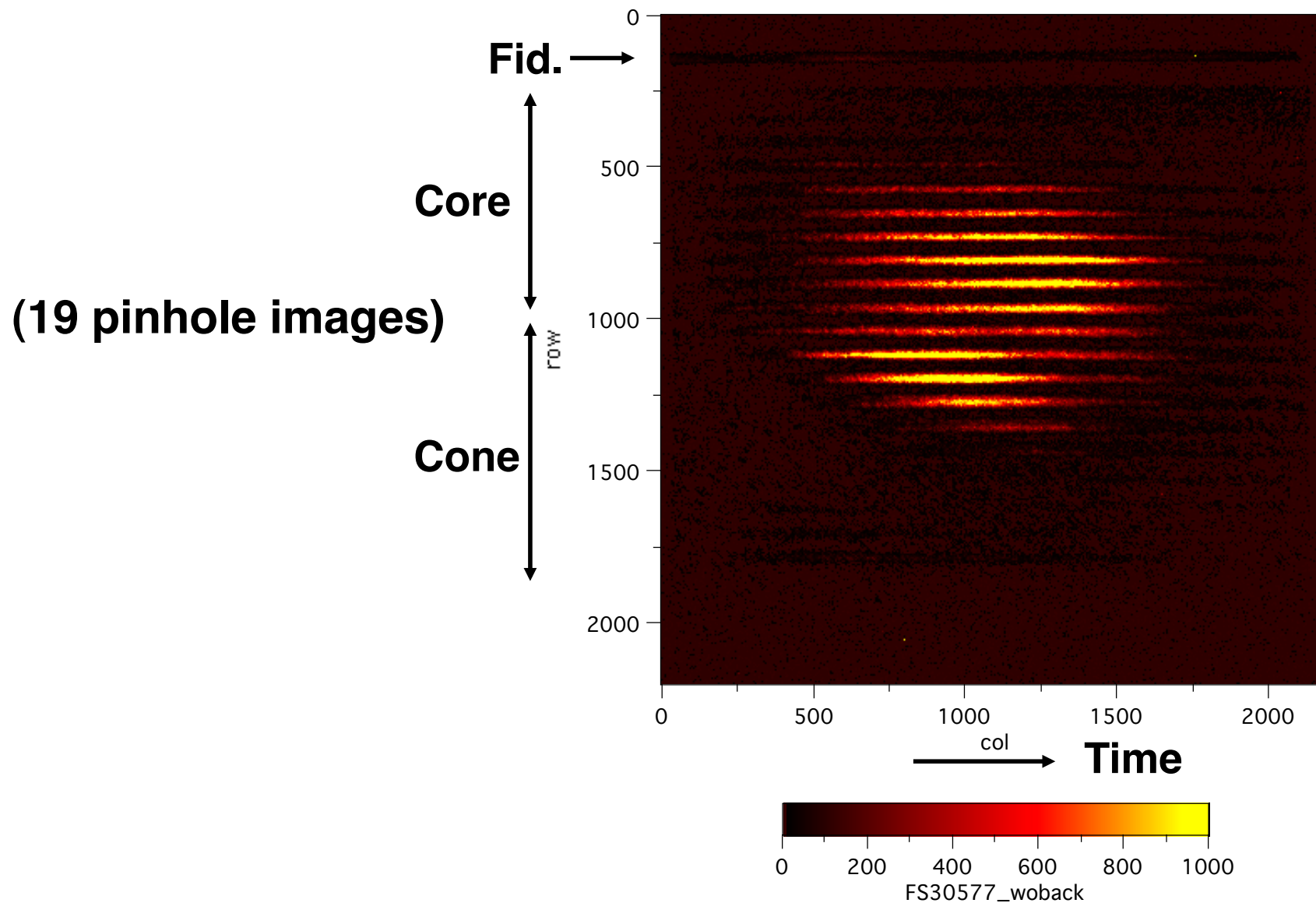


Space:	Δx:	$\sim 15 \mu\text{m}$	(pinhole, cathode)
	Δy:	$\sim 20 \mu\text{m}$	(sampling)
	Field of view:	$200 \times 190 \mu\text{m}$	(# of images, etc)
Time:	Δt:	13 ps	(tube, sampling)
	Time range:	1 ns FS	
Spectrum:	X-ray range:	$> 2 \text{ keV}$	(filter, cathode)
Frames:	# of frames:	up to 100	
	Interval:	10 ps	
Installation:	After off-line alignment, inserted into the OMEGA target chamber, pointed to TCC with TIM.		

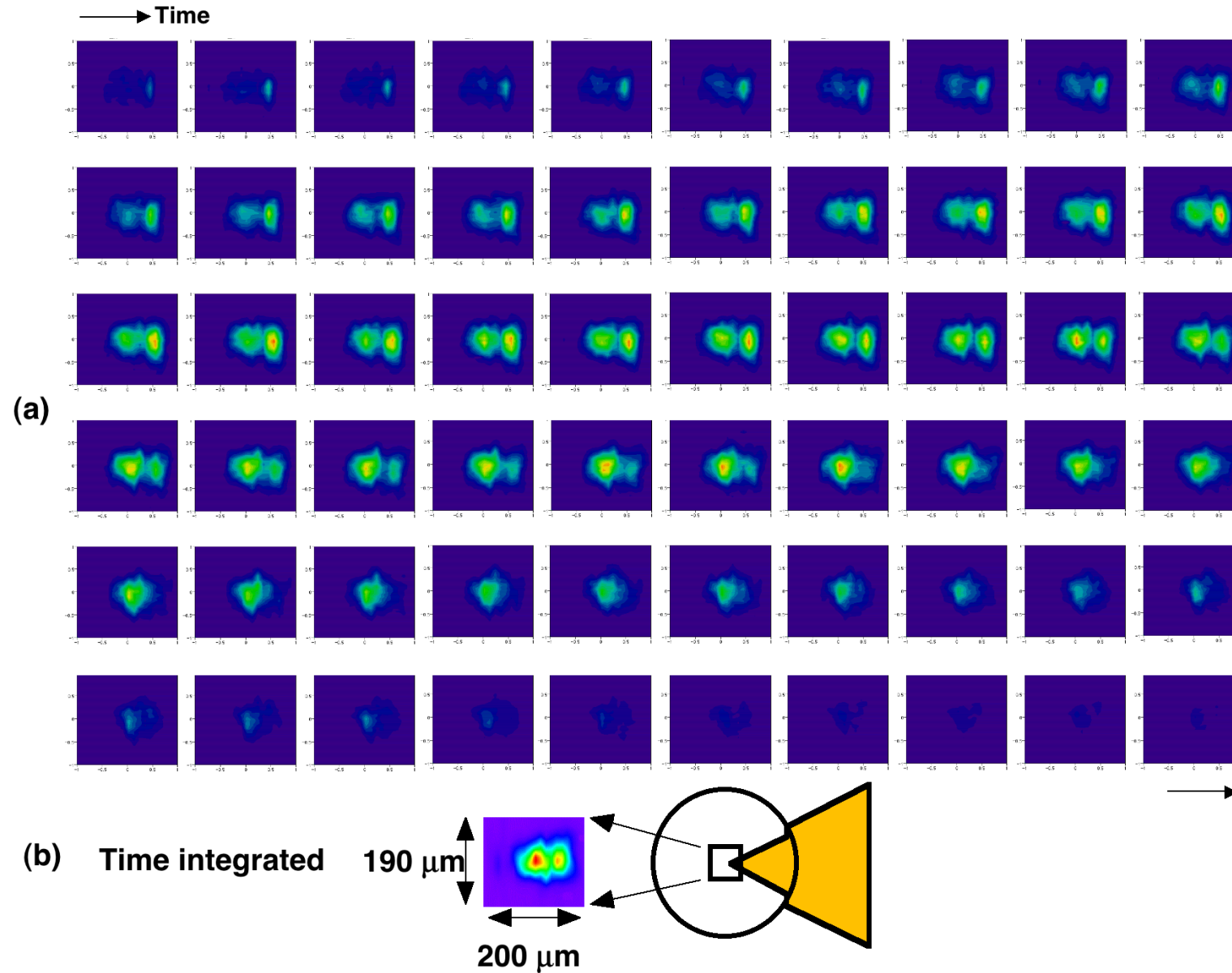
MIXS installation on OMEGA target chamber



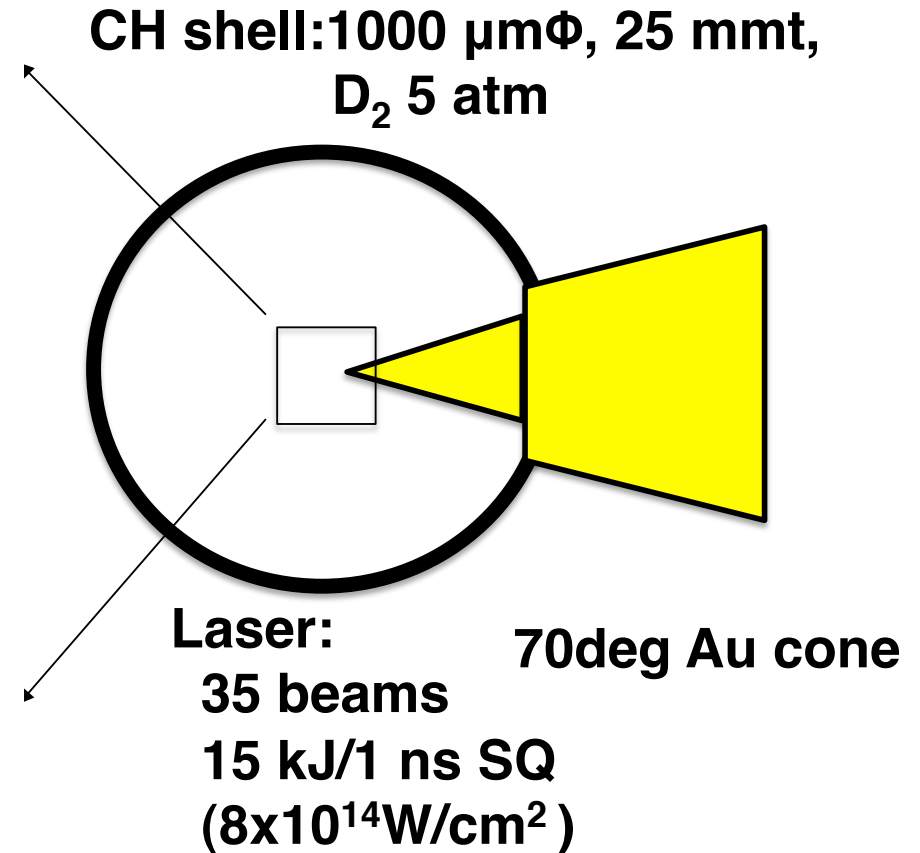
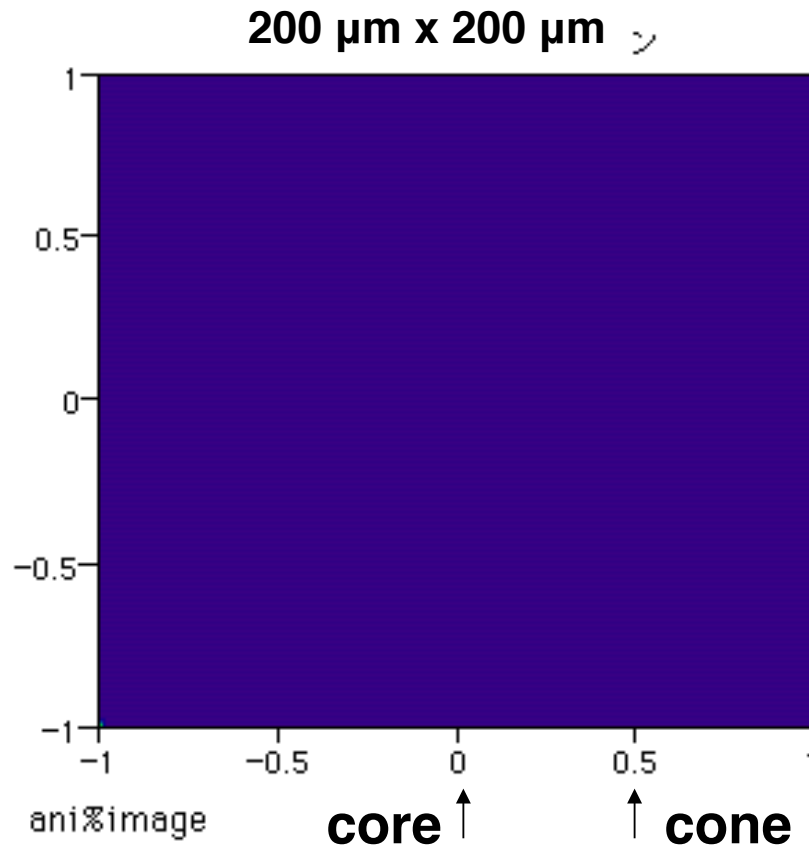
#30577 MIXS raw data



MIXS frames: frame exposure=13ps, frame interval=10ps



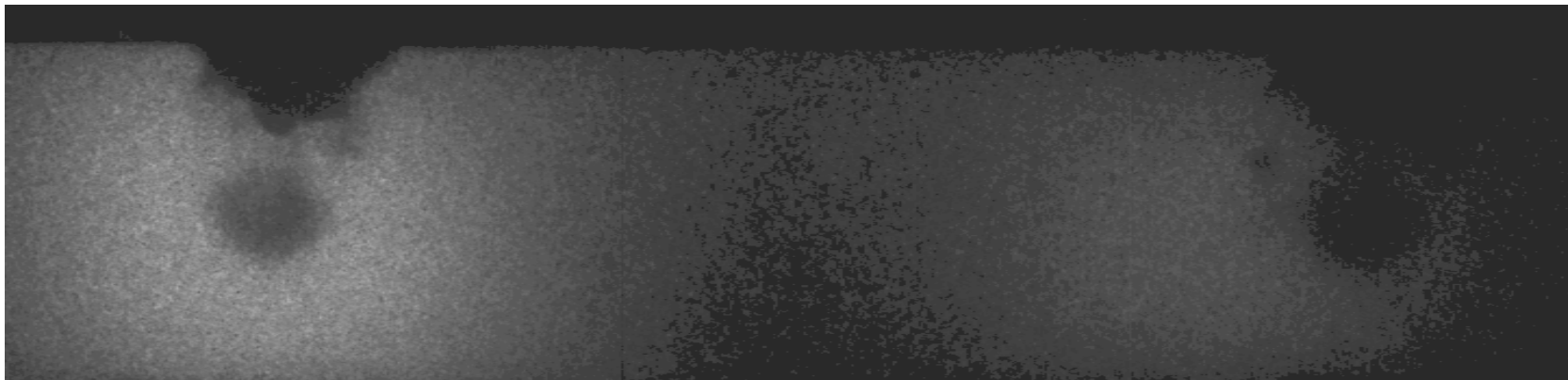
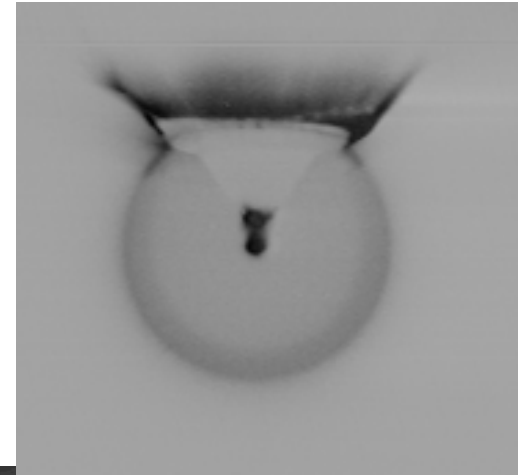
Implosion experiment of cone-shell target at LLE OMEGA laser



X-ray emission from core and cone tip
Ultrafast x-ray image ($\Delta t=10$ ps) obtained with
MIXS: Multi-Imaging X-ray Streak Camera with PJX at LLE

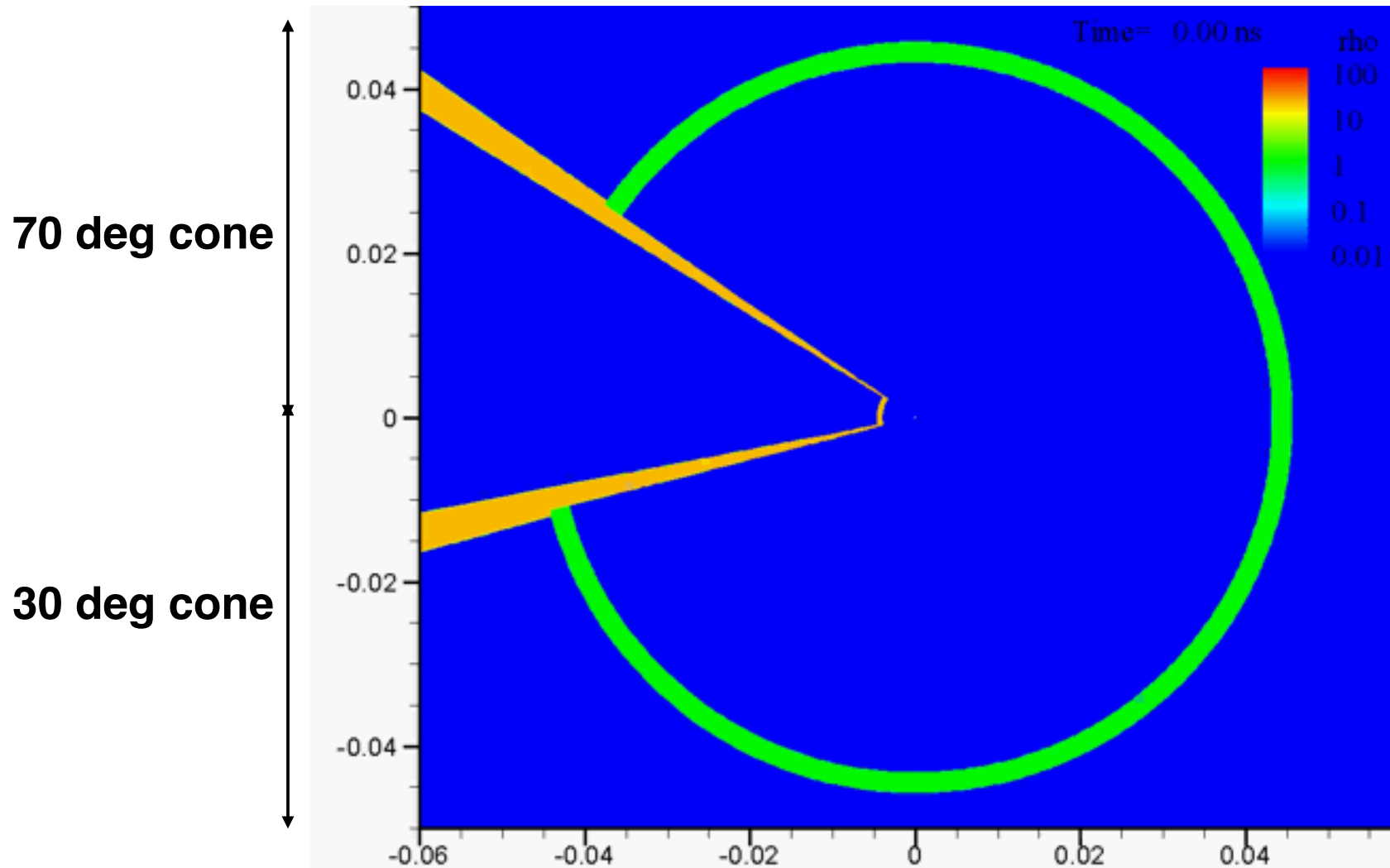
#30577 backlight core-cone (w/ gas fill)

- Stagnation at first image



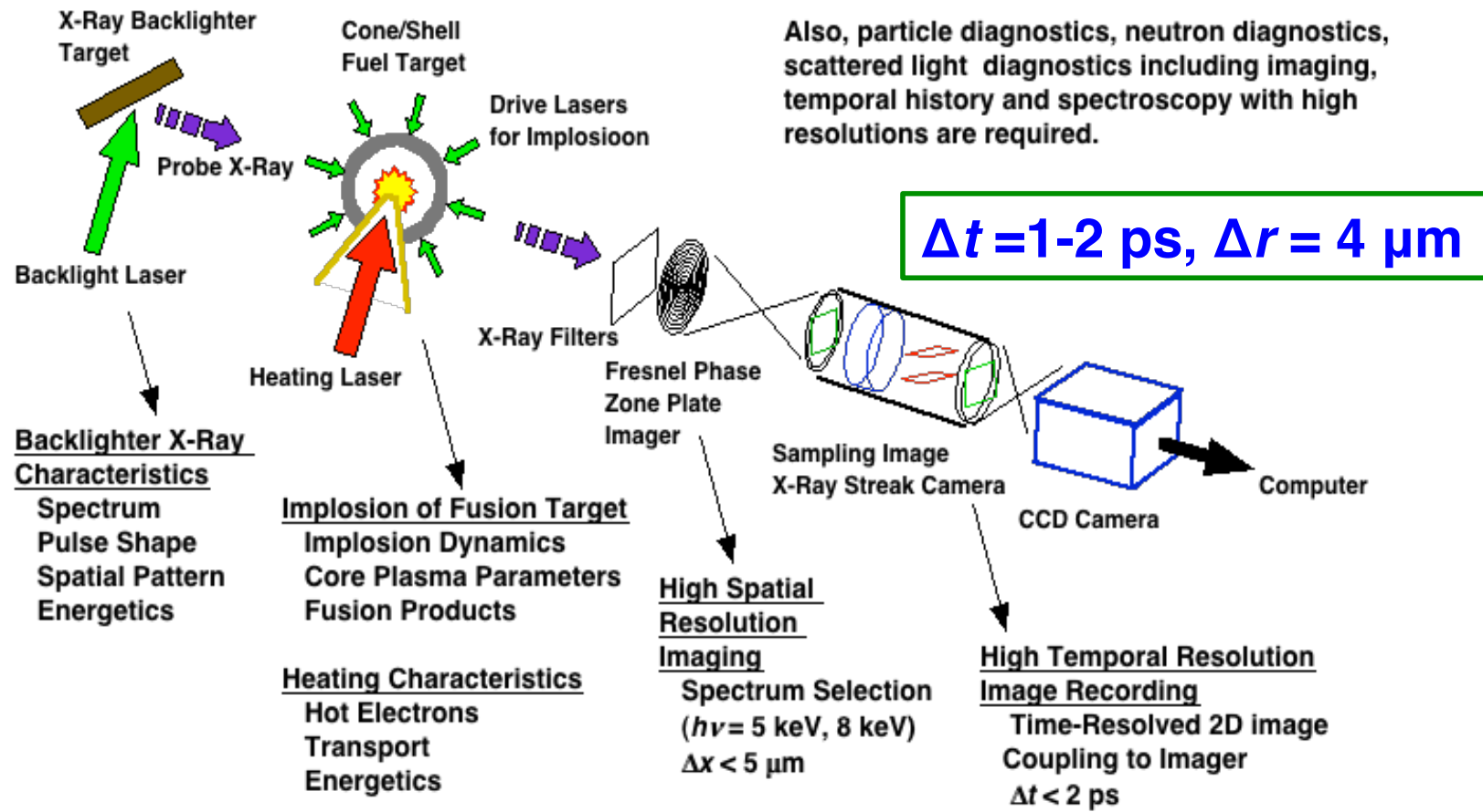
Cone tip was damaged before the formation of the core.

2D simulation of 70/30 deg cone-shell target implosion (density) by H. Nagatomo, ILE, Osaka



Shock wave after convergence hits the cone tip before shell stagnates at the target center.

ps/ μ mレベルの時間空間分解能はX線計測において同時達成可能である



点火燃焼実験では、n, γ , EMP過酷環境対策が重要

3. Issues found in Fast Ignition experiment found



Background noise

intensity > 10^{19} W/cm²

energy > 1000 J

- large amount of hot electron generation (> 1 ~ 10 MeV)**
- intense hard x rays (γ rays) and EMP**
- too large background noise and other nuclear reactions**

Diagnosics must be compatible to such **harsh environment**.

**H. Shiraga, et al., IAEA/FEC2014, IFE/P6-2 (2014);
Y. Arikawa, et al., RSI 83, 10D909 (2012).**

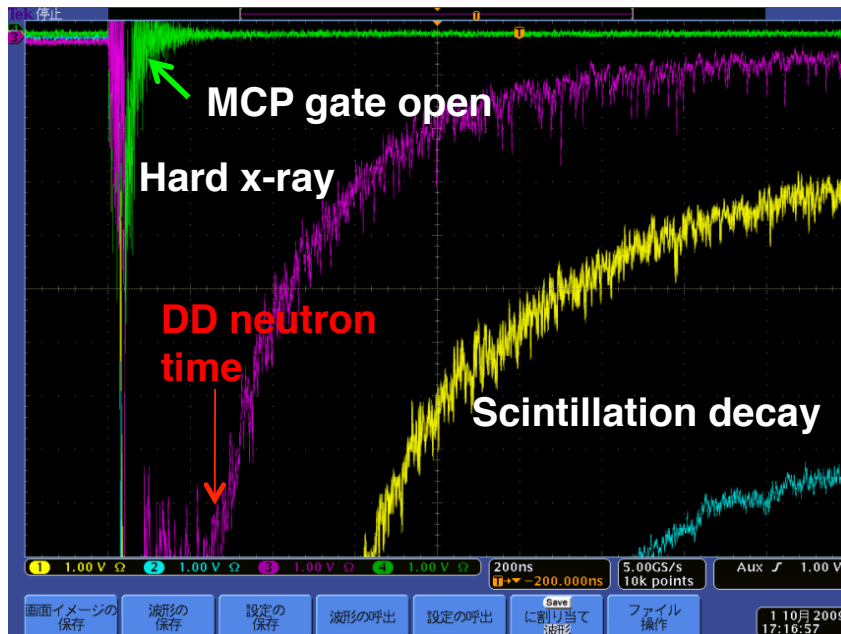
Plasma diagnostics compatible to hard x-ray and EMP harsh environment were required



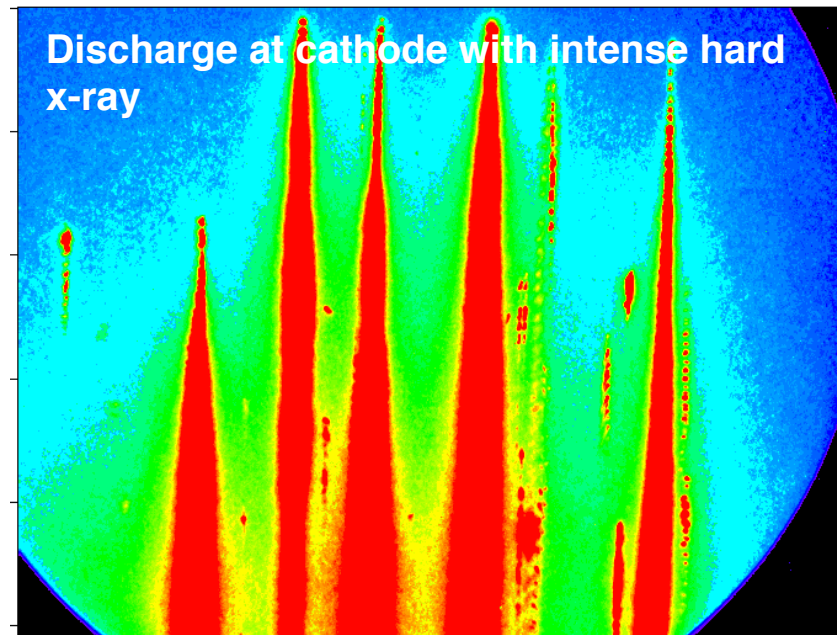
Diagnostics troubles in 2009 experiment with large energy LFEX shot

- Freezed PC's, violent noises in oscilloscopes
- Too big scintillation decay signal overwhelming the DD neutron signal
- Intense background noise and cathode discharge in x-ray imaging devices

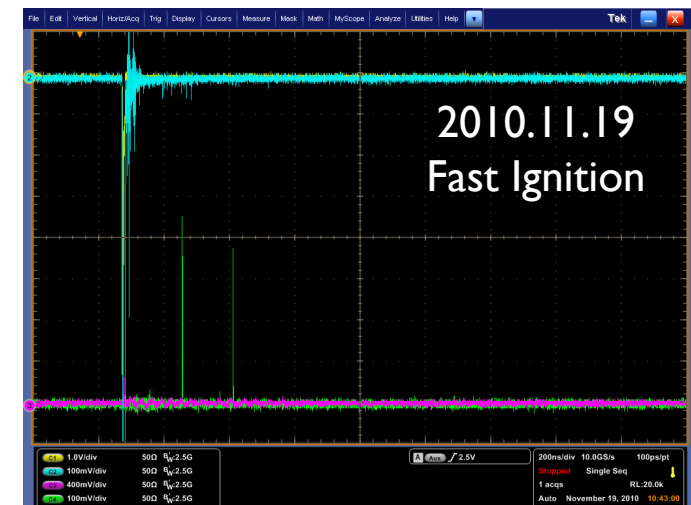
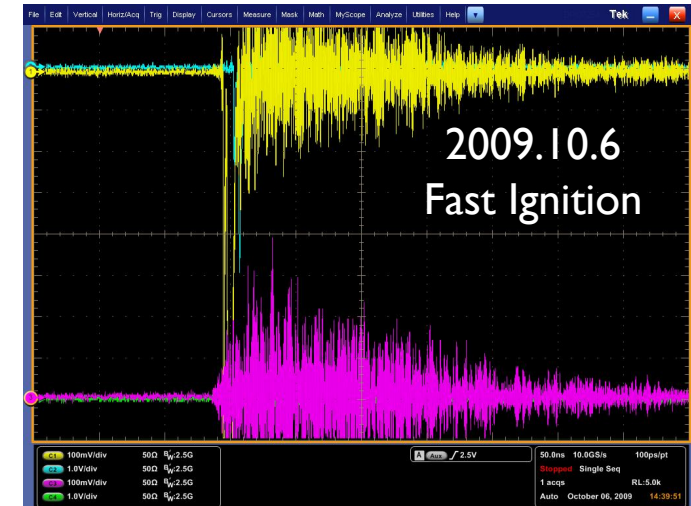
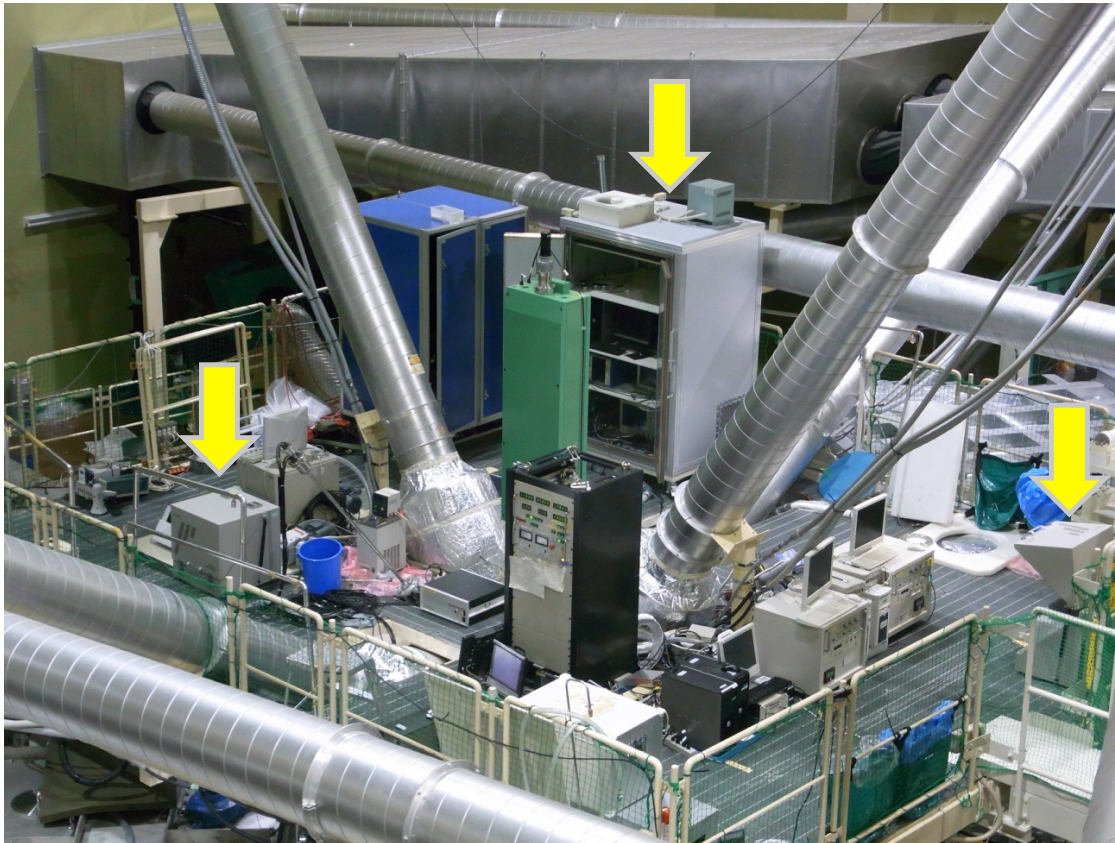
Neutron TOF scintillation detector



Multi Imaging Xray streak camera



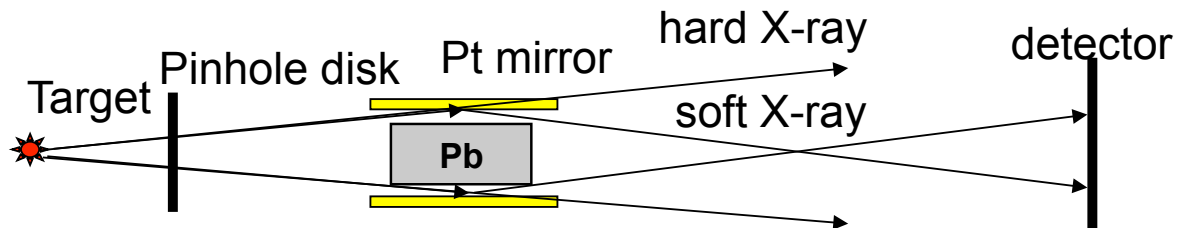
EMP shield box for electro circuits worked well



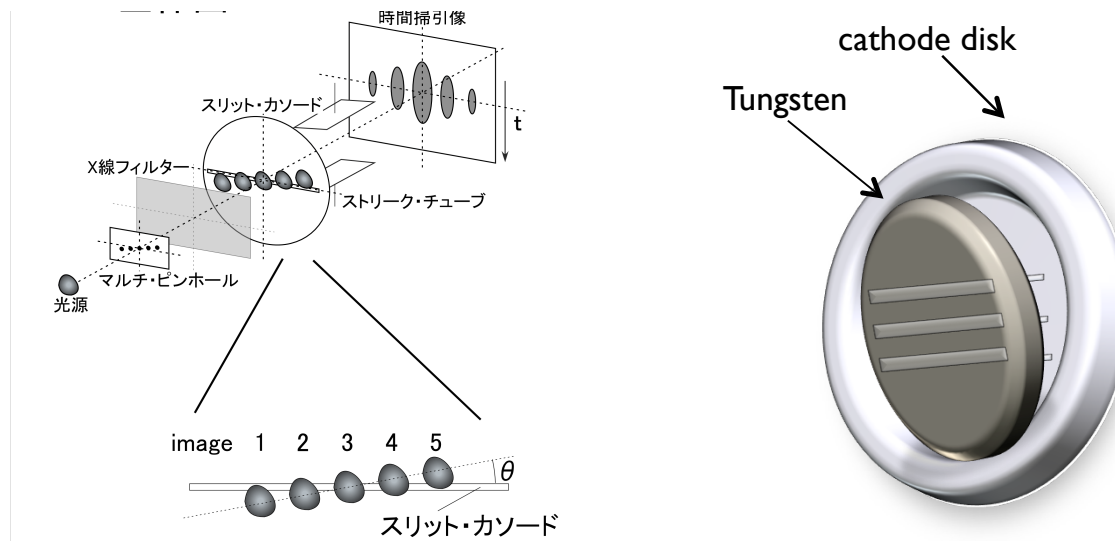
EMP noise effects on photodiodes, PC's, and oscilloscopes were significantly reduced.

Reduction of hard x-rays in x-ray imaging diagnostics

X-ray framing camera with total reflection mirrors
to eliminate hard x-rays



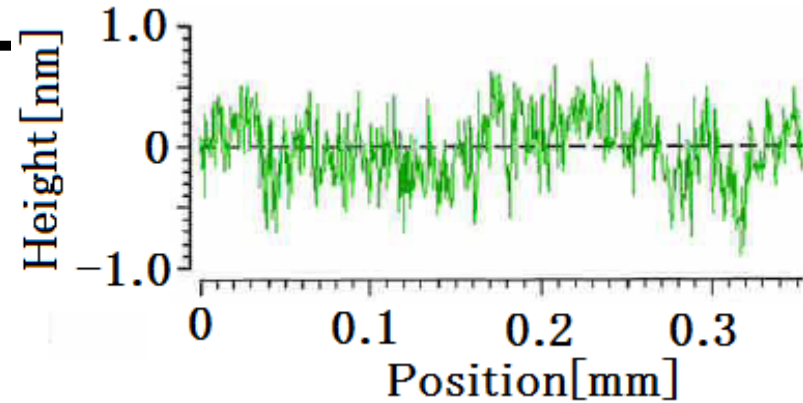
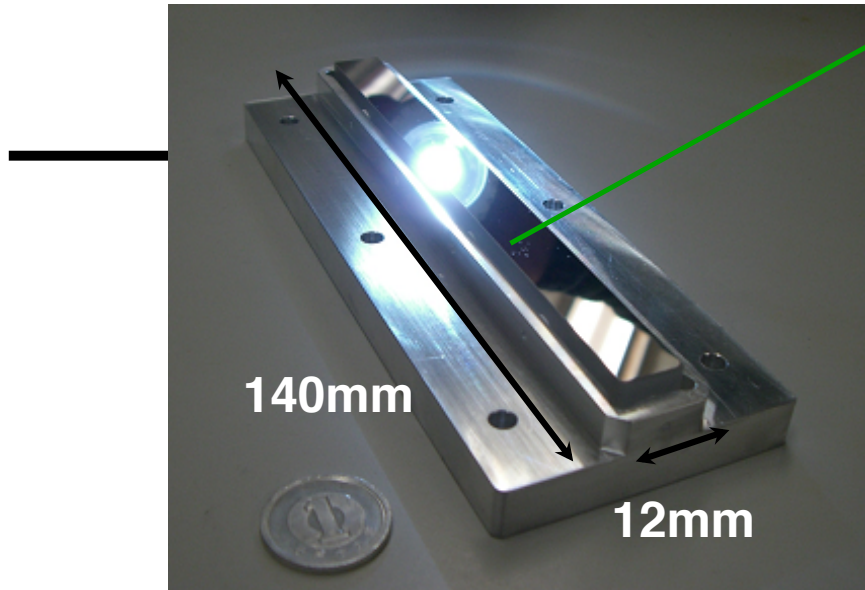
Hard x-ray-shielded cathode for x-ray streak tube



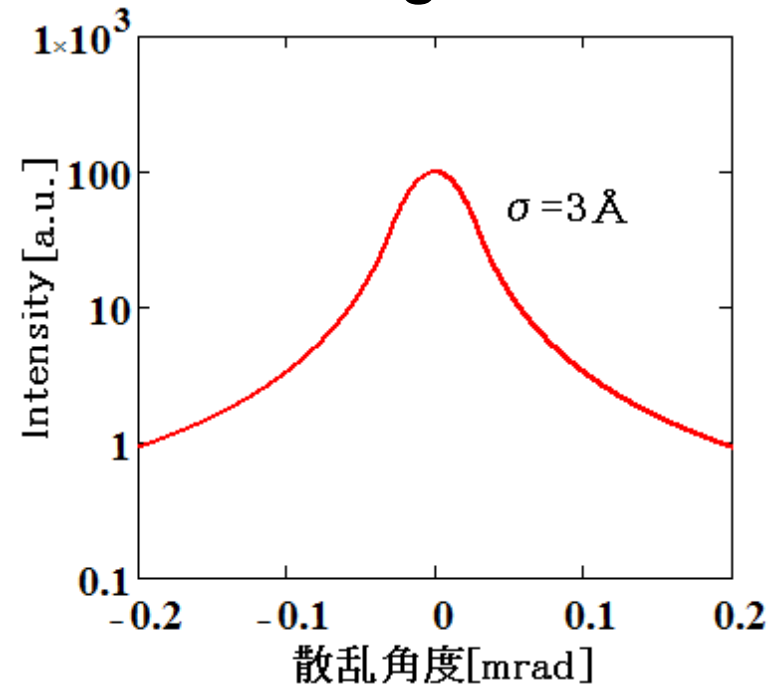
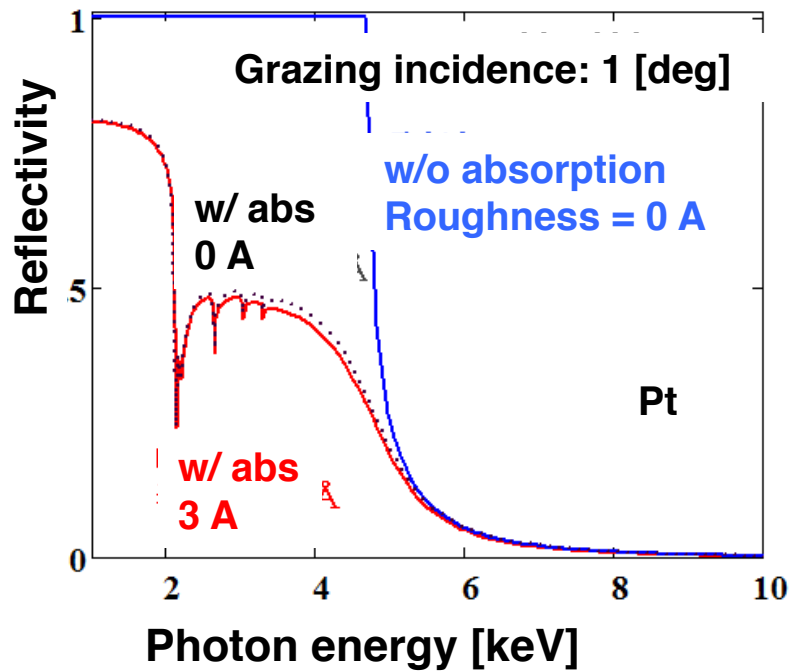
These schemes worked well and contributed to efficient experiment.

Prototype flat x-ray mirror

60 nm thick Pt coated on quartz substrate



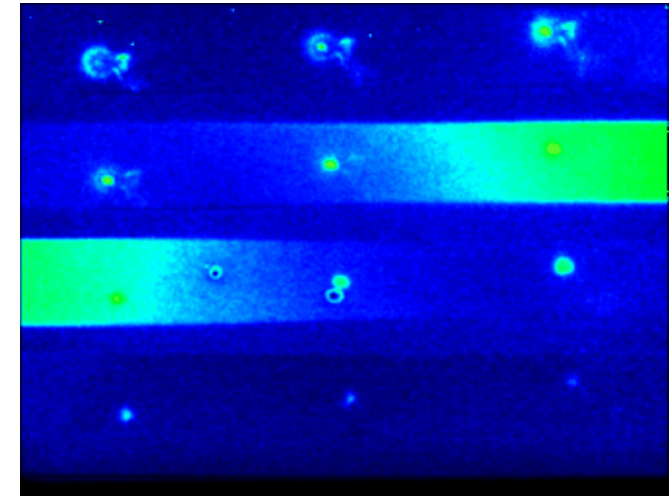
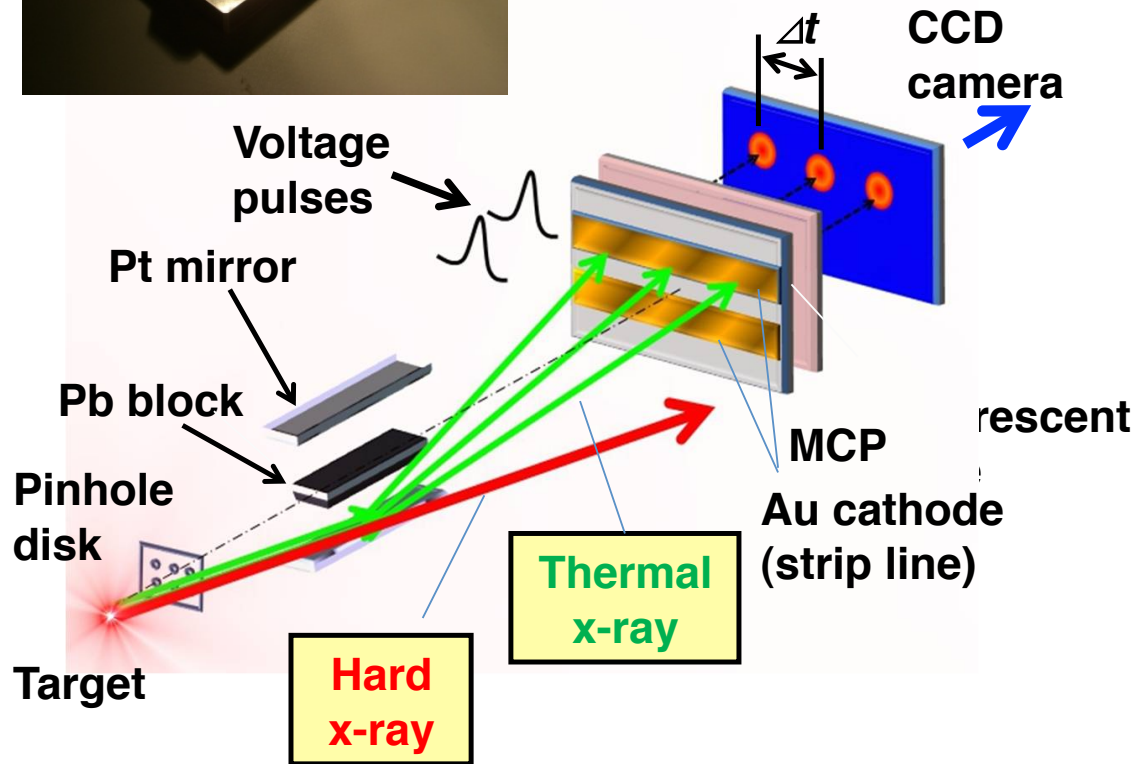
Surface roughness = 3\AA



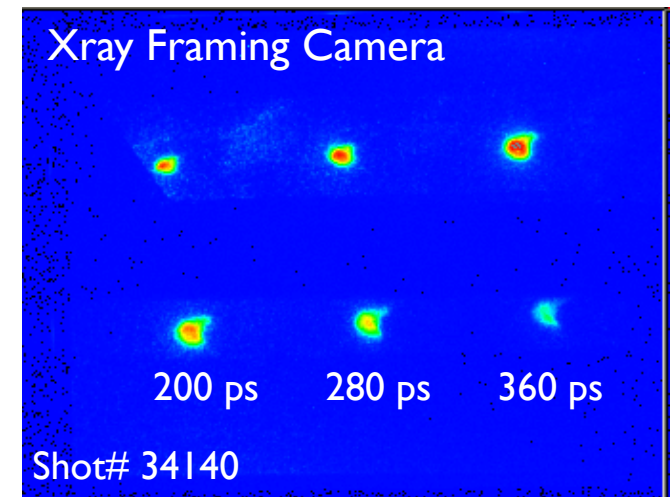
R > 40% for $h\nu < 4\text{ keV}$

Broadening < 0.1 mrad

Hard x-rays are eliminated with Pt total reflection mirrors, and only thermal x-ray images are recorded



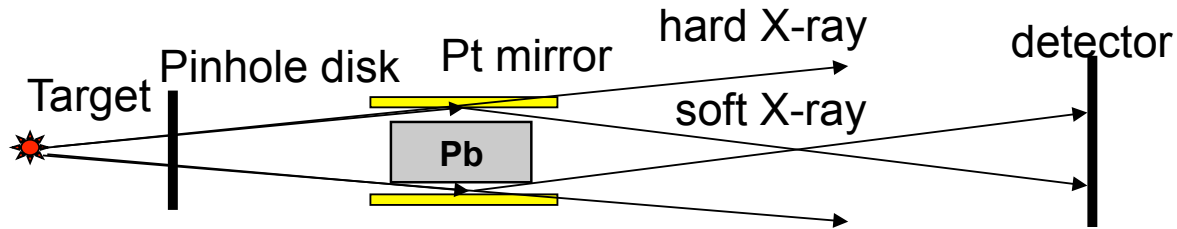
w/o mirrors



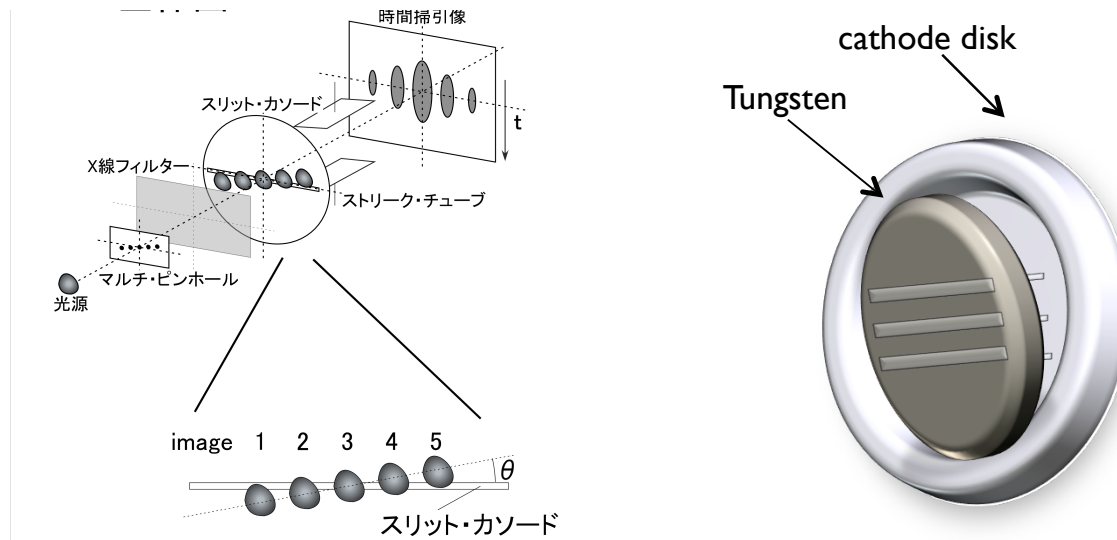
w/ mirrors

Reduction of hard x-rays in x-ray imaging diagnostics

X-ray framing camera with total reflection mirrors
to eliminate hard x-rays

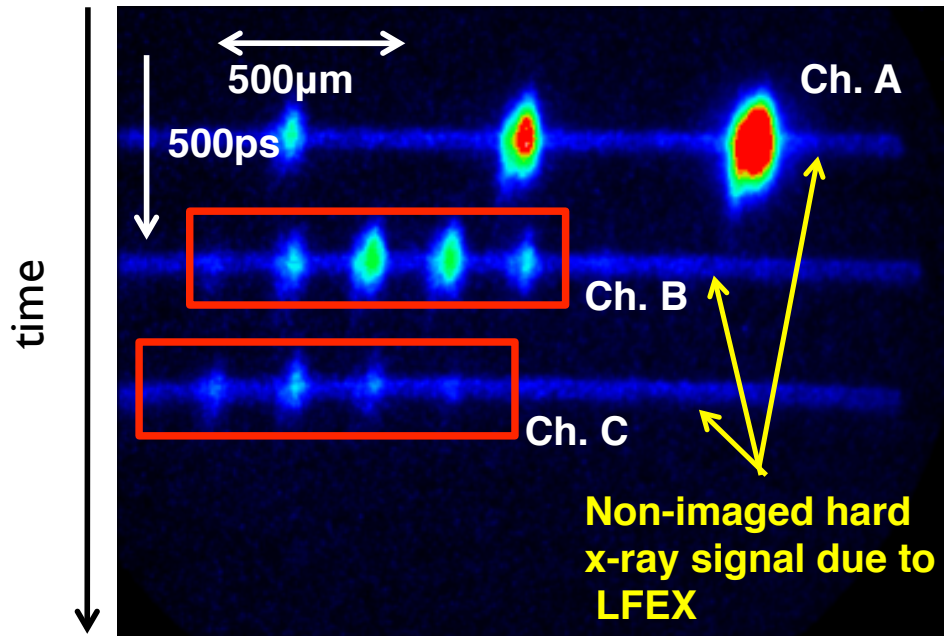


Hard x-ray-shielded cathode for x-ray streak tube



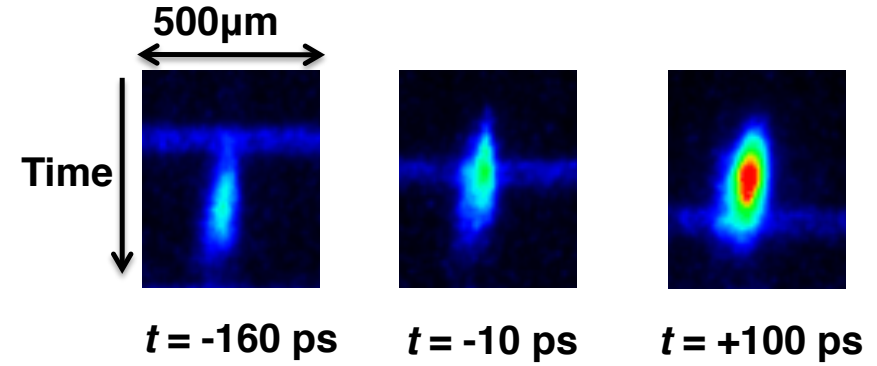
These schemes worked well and contributed to efficient experiment.

Shielding worked, and LFEX injection time was accurately monitored using non-imaged hard x-ray signal in x-ray streak cameras

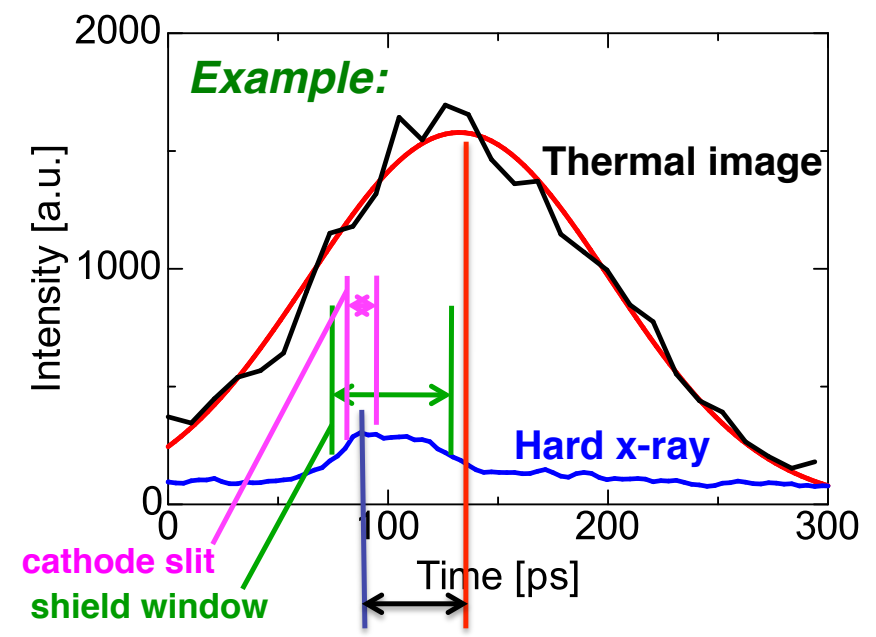


- Balk shielding resulted in :
- Stopping cathode discharge
 - Reducing background noise

Injection time was measured within an accuracy better than +/-10 ps.



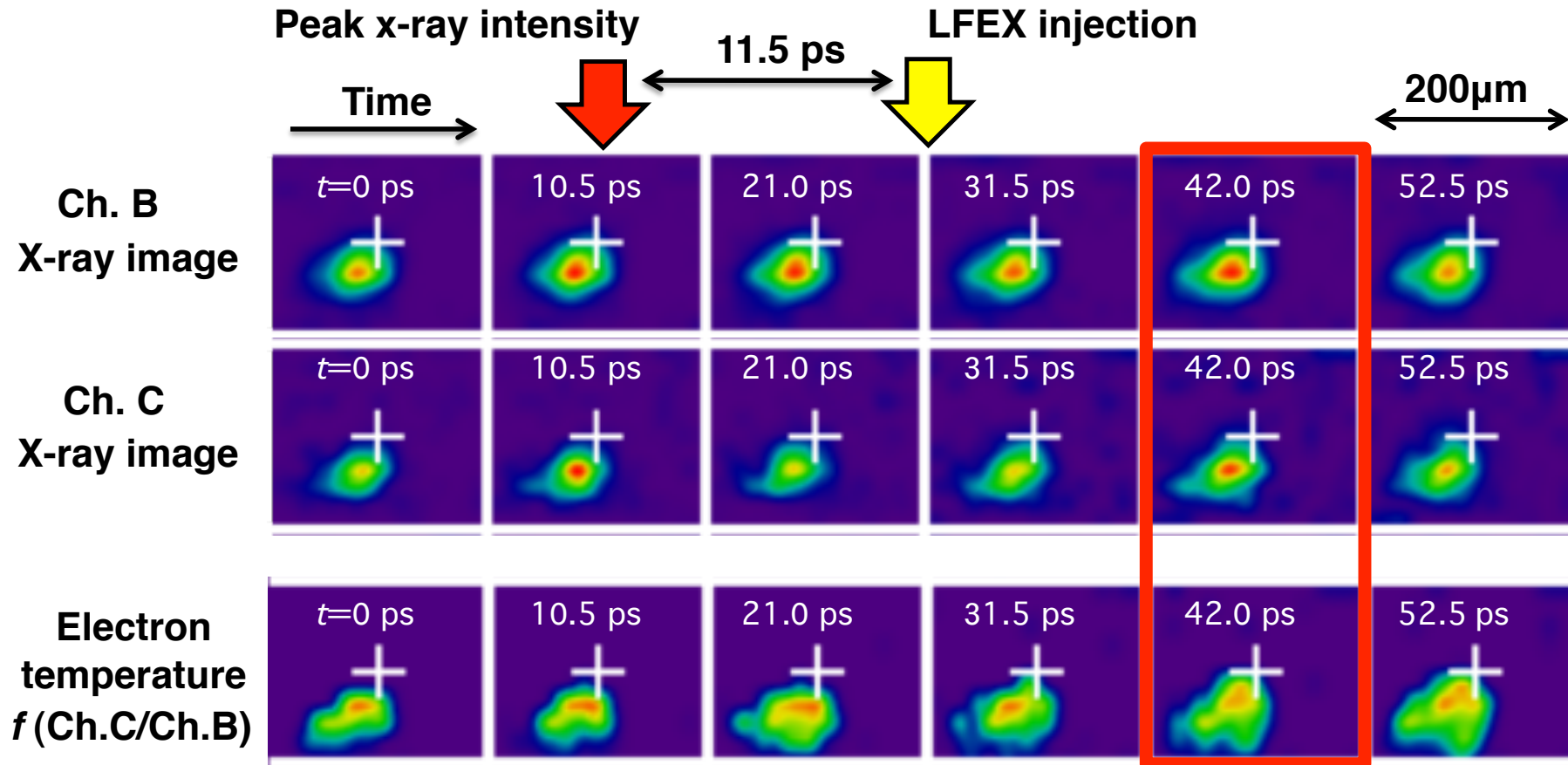
Relation between hard x-ray signal and the imploded core plasma



Increment in x-ray signal observed in some shots Reproducibility under investigation



10-ps frame x-ray images and derived temperature distribution



*Ready to diagnose the heating dynamics
once the heating becomes significant*

4. Various neutron diagnostics were developed



Time-resolving detectors

1. MANDALA: 4p shielding
2. TOF scintillator: shielding hardened
3. Fast fiber scintillator: shielding hardened
4. BC422: position changed
5. Gated TOF scintillator: **New**
6. Gated Liq. scintillator # 1: **New**
7. Gated Liq. scintillator #2: **New**
8. Gated ⁶Li scintillator #2: **New**
9. Multi-ch. ⁶Li counting mode: **New**

g-ray insensitive detectors

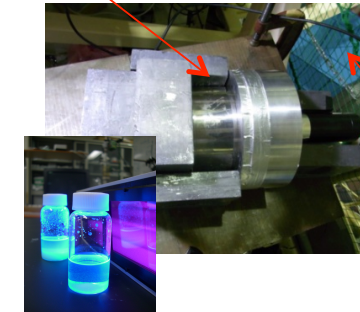
10. Bubble detector: **Revival**
11. CR39 auto-reading: **New**
12. Radiochromic film: **New**
13. Ag counter: **Revival**



MANDALA

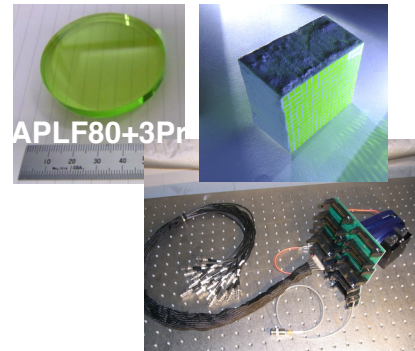


0-saturated quenching Liq. scintillator

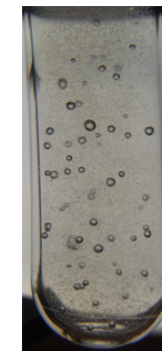


PMT with gated-dinode

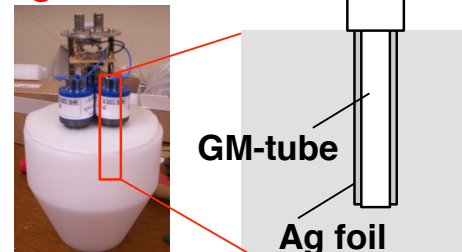
⁶Li scintillator



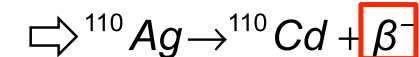
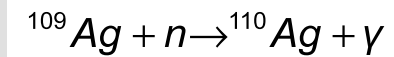
Bubble detector



Ag activation counter



n-moderator (polyethylene)

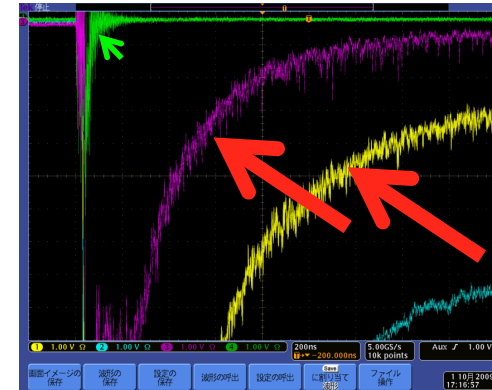


4a. (γ,n) reactions take place in γ -ray rich environment in high-intensity experiments

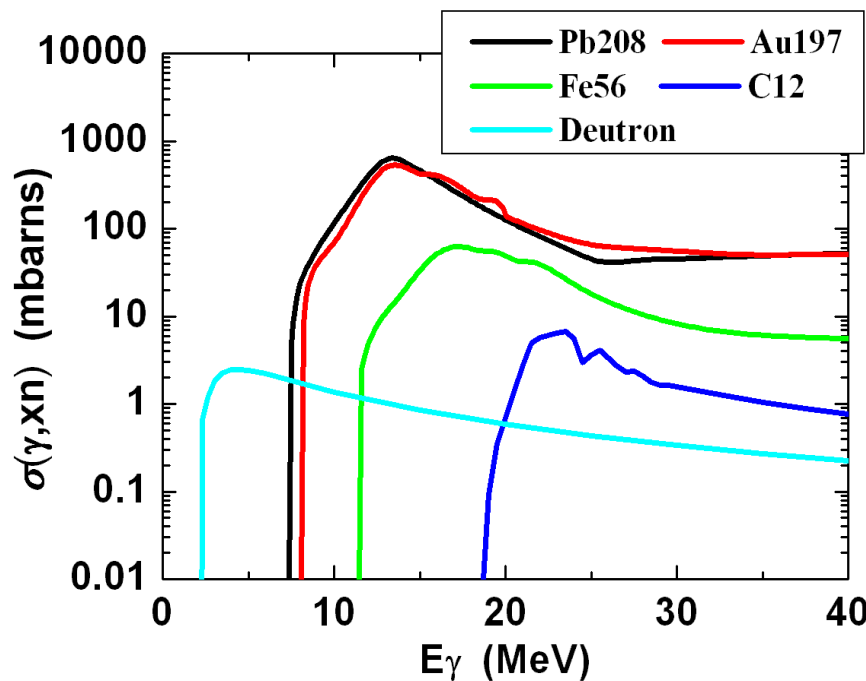


We observed:

- Neutron signals in *gamma-insensitive* detectors (bubble, Ag activation)
- Broadband neutron signals observed in shots *without* implosion
- Correlation with gamma-ray signals



→ **There are neutron signals coming from (γ, n) reactions.**



Neutrons in the MeV range can be created due to (γ,n) reactions (*photo disintegration reactions*) in materials in and around the target.

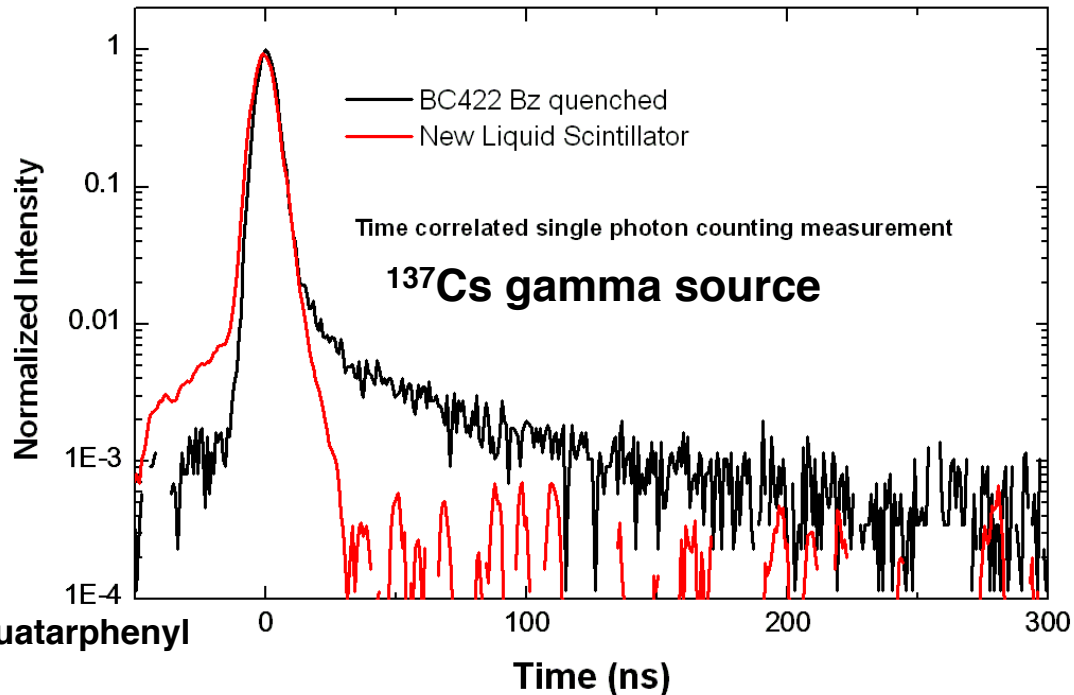
New liquid scintillator was developed



scintillation :
BBQ (used for dye lasers)
4,4''-Bis-(2-butylloctyloxy)-p-quatarphenyl

host : p-Xylene

Quenching by oxigen



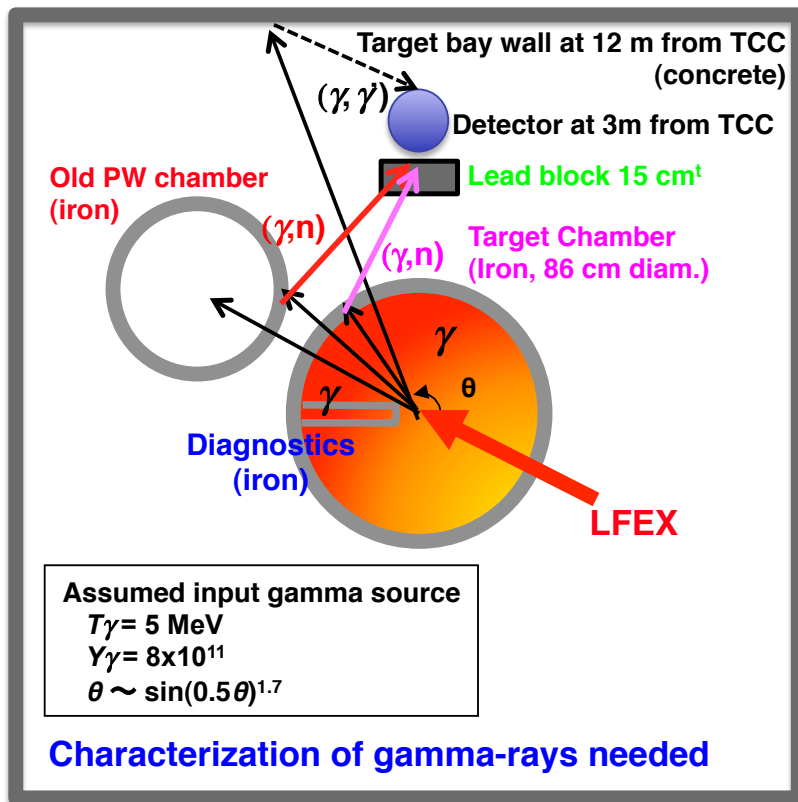
- *Slow decay component was significantly reduced.*
- *Coupled with gated PMT, and used in FI integrated experiment.*

Intense (γ, γ') and (γ, n) signals were found to be the main components of the background signal

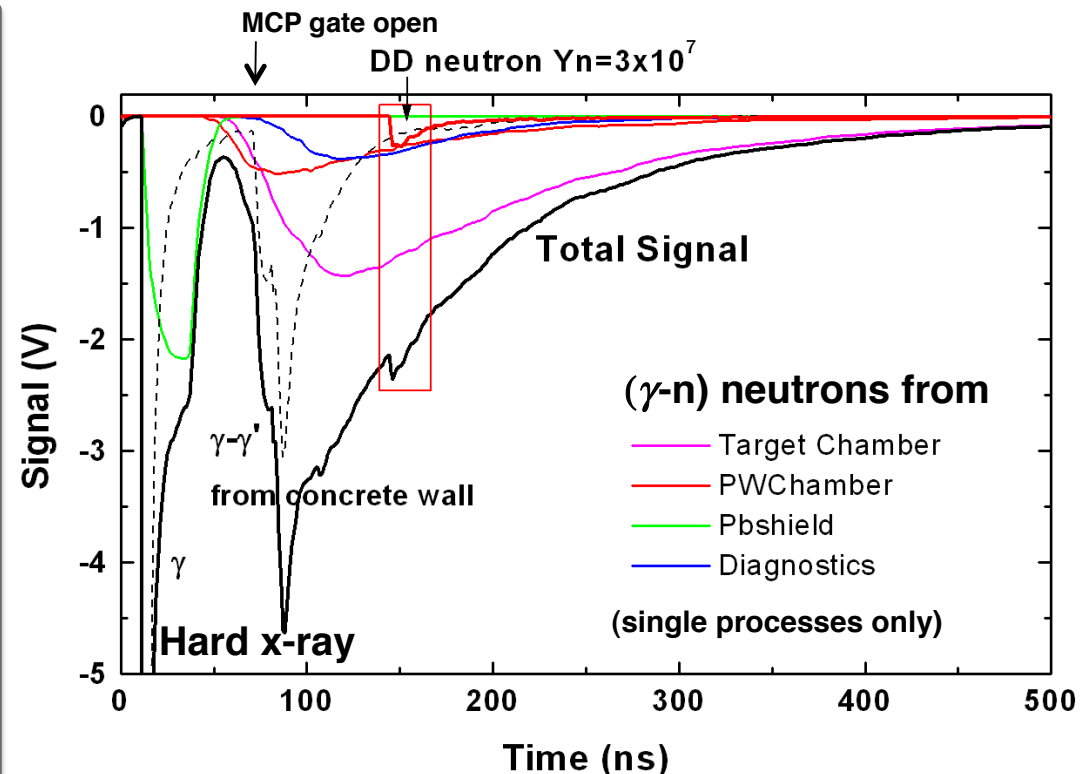


(γ, n) and (γ, γ') in materials elsewhere in and around the target chamber and at the concrete walls

(γ, n) and (γ, γ') signal components calculated with Monte-Carlo code* assuming materials configuration



*MCNP5 (A general Monte-Carlo N-Particle transport code)



(γ, n) : photodisintegration reaction, (γ, γ') : scattering

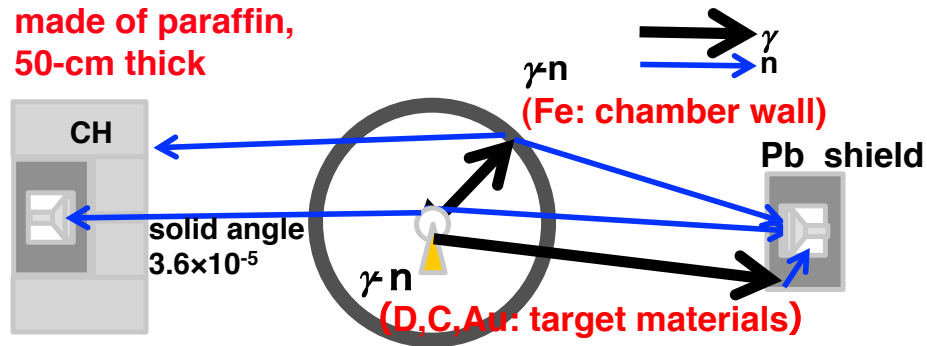
Now we know nature of the background signals, and can accurately identify the DD neutron signal even with the heavy backgrounds.

(γ, n) and (γ, γ') signals from surroundings can be eliminated by using appropriate collimators

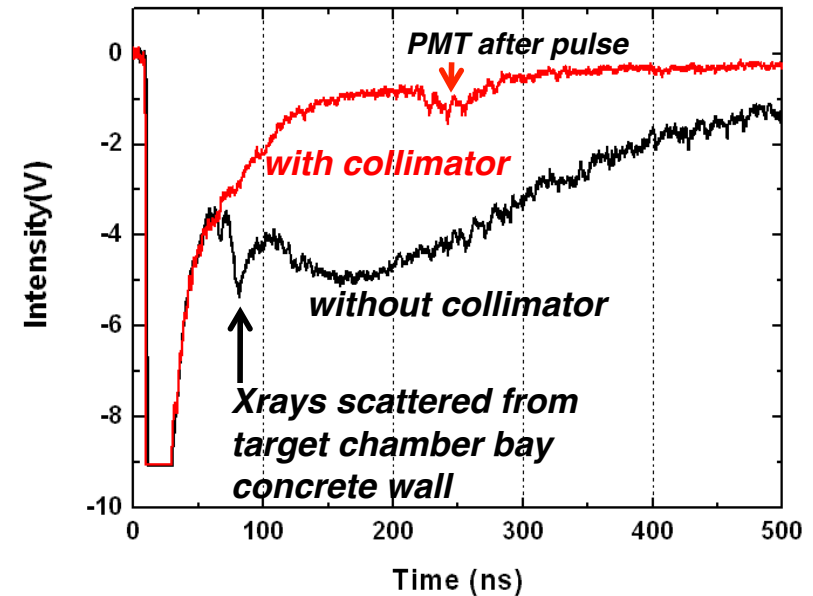
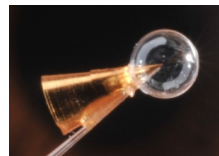


gamma-n observation shot

Neutron collimator made of paraffin, 50-cm thick



Shot # L1635 (25 Jan, 2011)
Fast ignition target
LFEX 427.7 J,
without Implosion

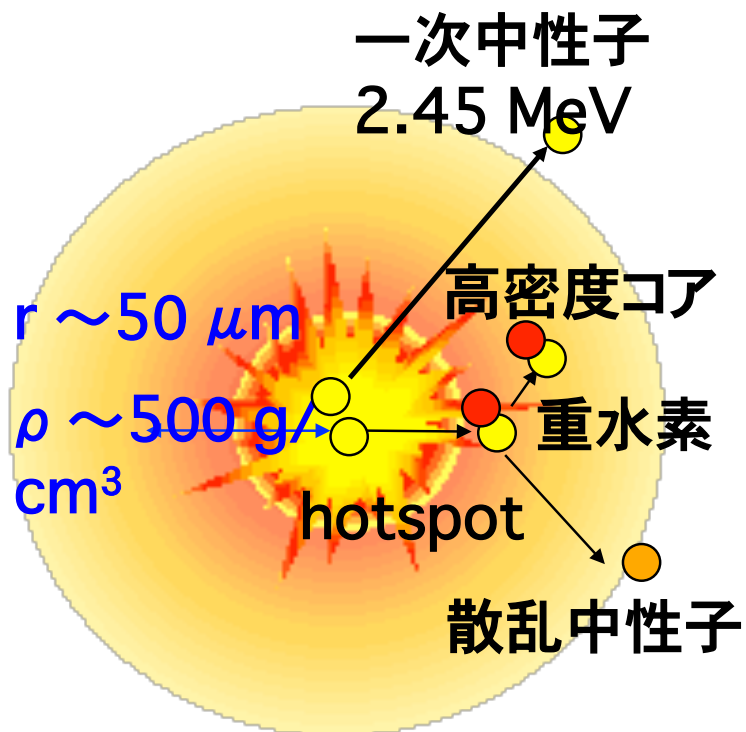


Collimators will be fully installed in 2011 exp't.

4b. 爆縮燃料プラズマからの散乱中性子計測

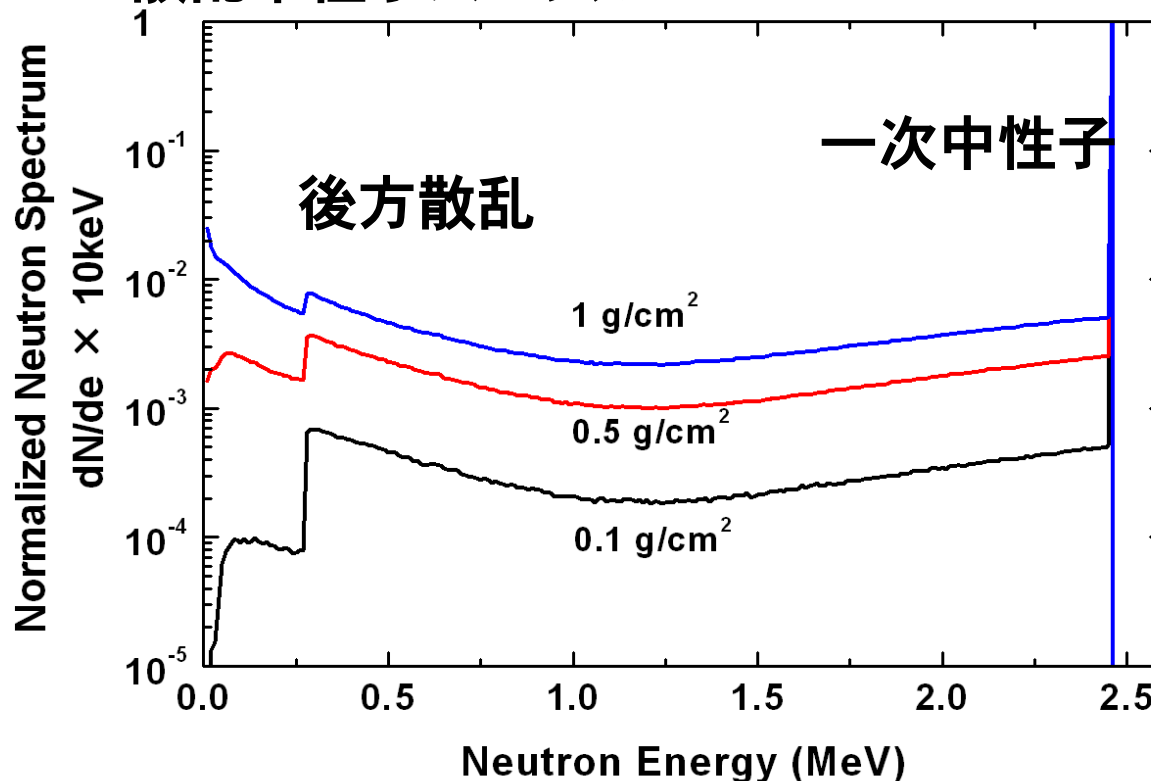
4c. 高速時間分解(ゲート)中性子画像計測

4b. 散乱中性子計測とは？



$$\frac{\text{散乱中性子}}{\text{一次中性子}} \propto \rho R$$

モンテカルロシミュレーションによる 散乱中性子スペクトル



しかし、散乱中性子計測は

1. エネルギーが低く、信号が弱い
2. 数が少なく
3. 一次中性子の後に来るため、計測が非常に困難

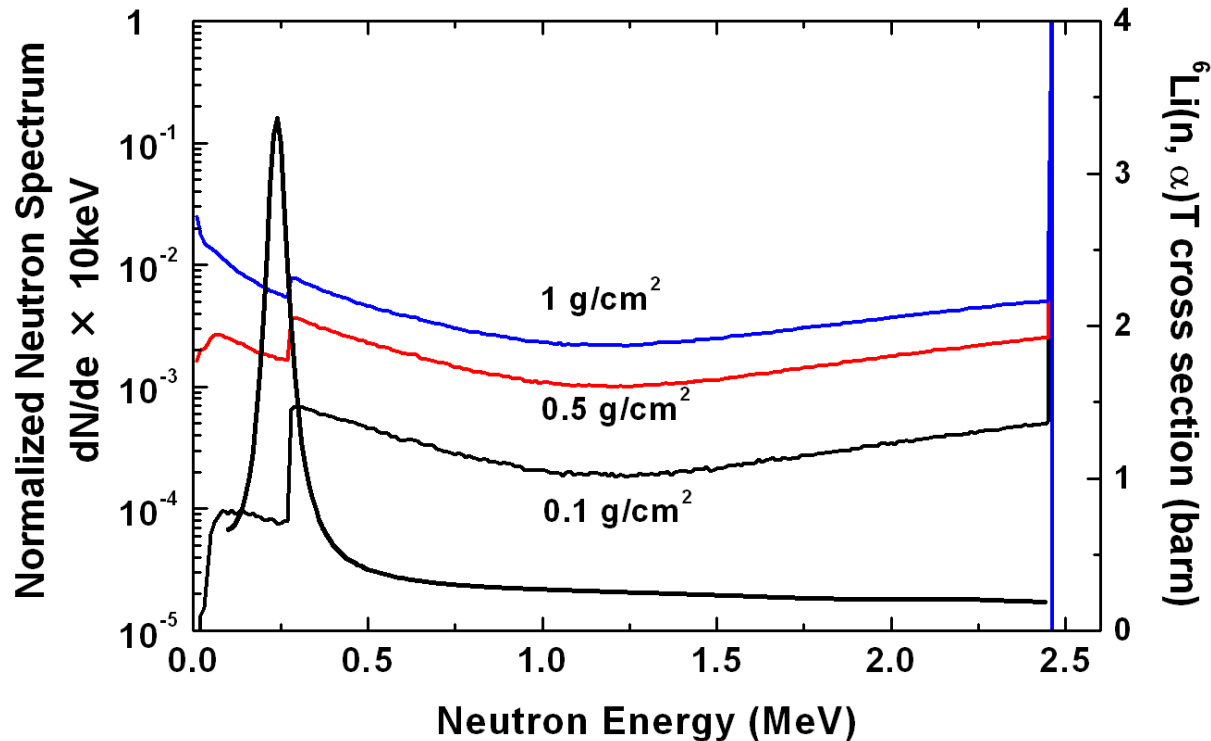
従来の燃料面密度計測手法と問題点



散乱中性子計測法は現状実験レベルの ρR から
将来の点火クラスの高 ρR 領域までの計測が可能。

計測法	$\langle \rho R \rangle$ 上限	制限要素、問題点
ノックオン法	150mg/cm ²	反跳粒子の飛程
二次反応法	30mg/cm ²	Tの飛程
放射化法	~5g/cm ²	トレーサー原子が爆縮に悪影響 ターゲット製作技術
散乱中性子計測	~3.2 g/cm²	中性子の飛程

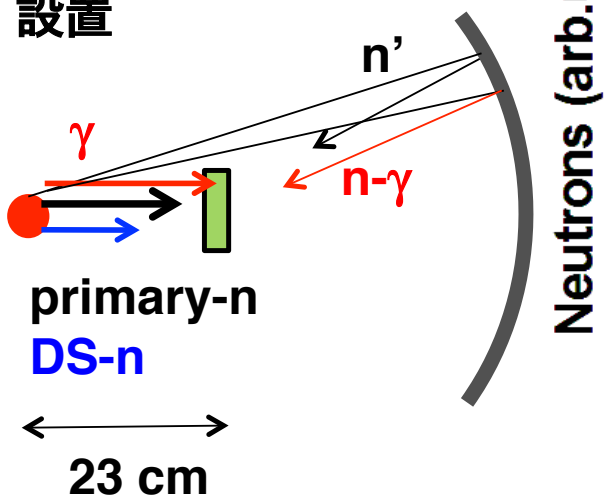
${}^6\text{Li}$ シンチレーターは散乱中性子に高感度



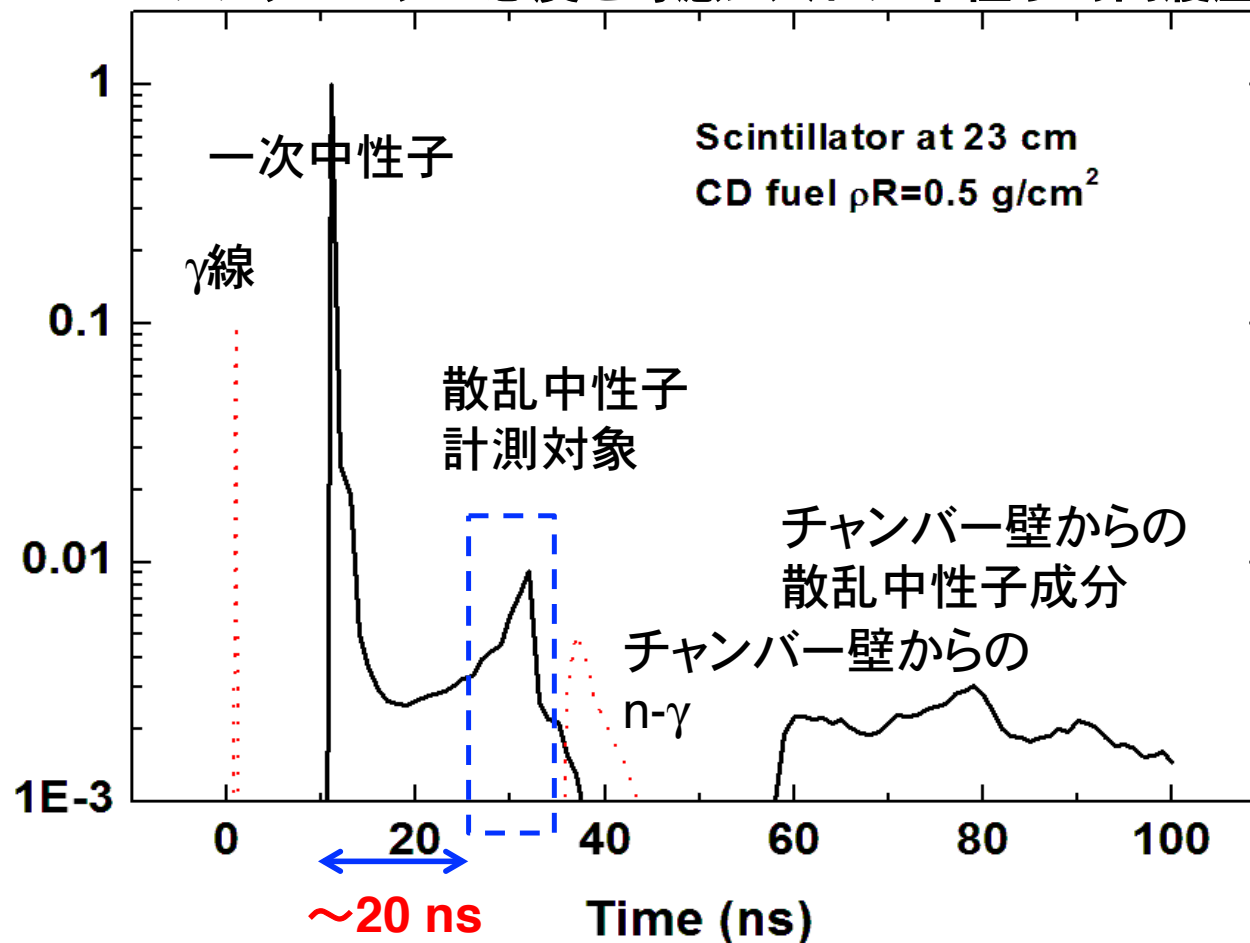
1. 低エネルギー中性子でも十分な信号
 2. 中性子捕獲反応共鳴ピークが散乱中性子ピークと一致するため、散乱中性子のみを高感度を得る
- 問題1.2はクリア。残すは高速応答性、さらにカウントモードのみ。 48

高速応答⁶Liシンチレーターが必要

感度・バックグラウンド信号
切り分けの観点から
シンチレーターは23cmに
設置



⁶Liシンチレーター感度を考慮に入れた中性子時間履歴



20nsの間に十分減衰出来る⁶Li高速シンチレーターが必要

Fast response ^6Li glass scintillator



Fall time (peak - 10%)
120 ns \rightarrow 10 ns !

Ce (3+) \rightarrow Pr(3+)

Conventional ^6Li glass

Saint-Gobain (KG2)

•Host: SiO_2 - Li_2O glass

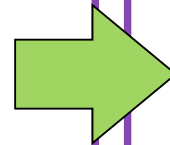
•Fluorescent ion: Ce (3+)

emission 400 nm

decay const $t_1 = 50$ ns

+ longer tail

fall time : (peak - 10%) 120 ns



New material

•Fluorescent ion : Pr (3+)

emission 250 nm

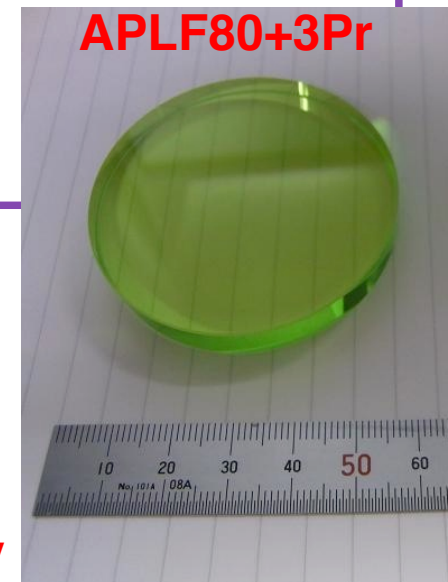
(lifetime $\tau \propto \lambda^3$)

•Host : LiF glass

(UV transparent)



Lithium Glass Array for neutron detection, developed and manufactured by Iseki Instruments for AMS-2. Photo source: Iseki, Inc. 2018

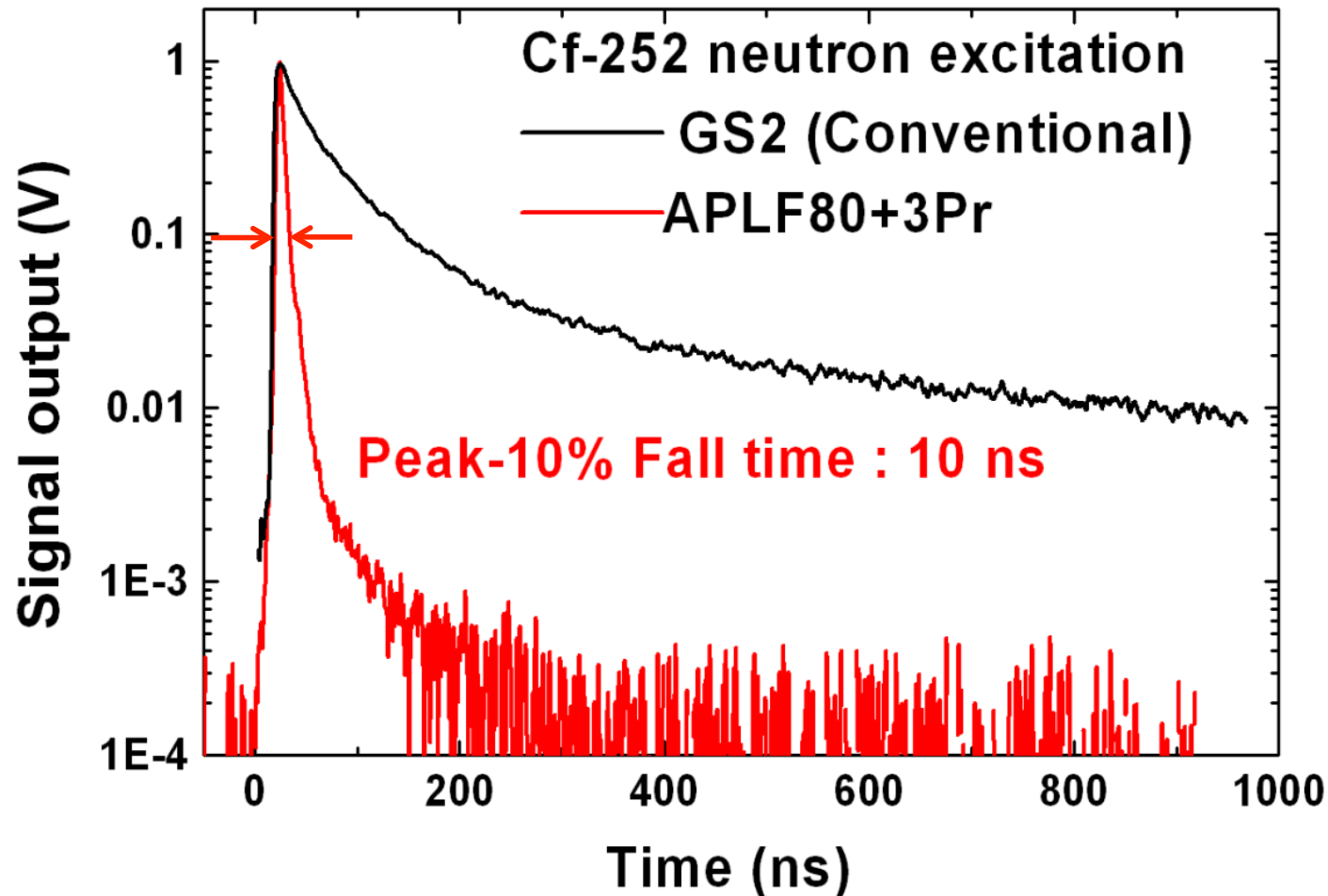


Manufactured by
T. Murata, Kumamoto U.

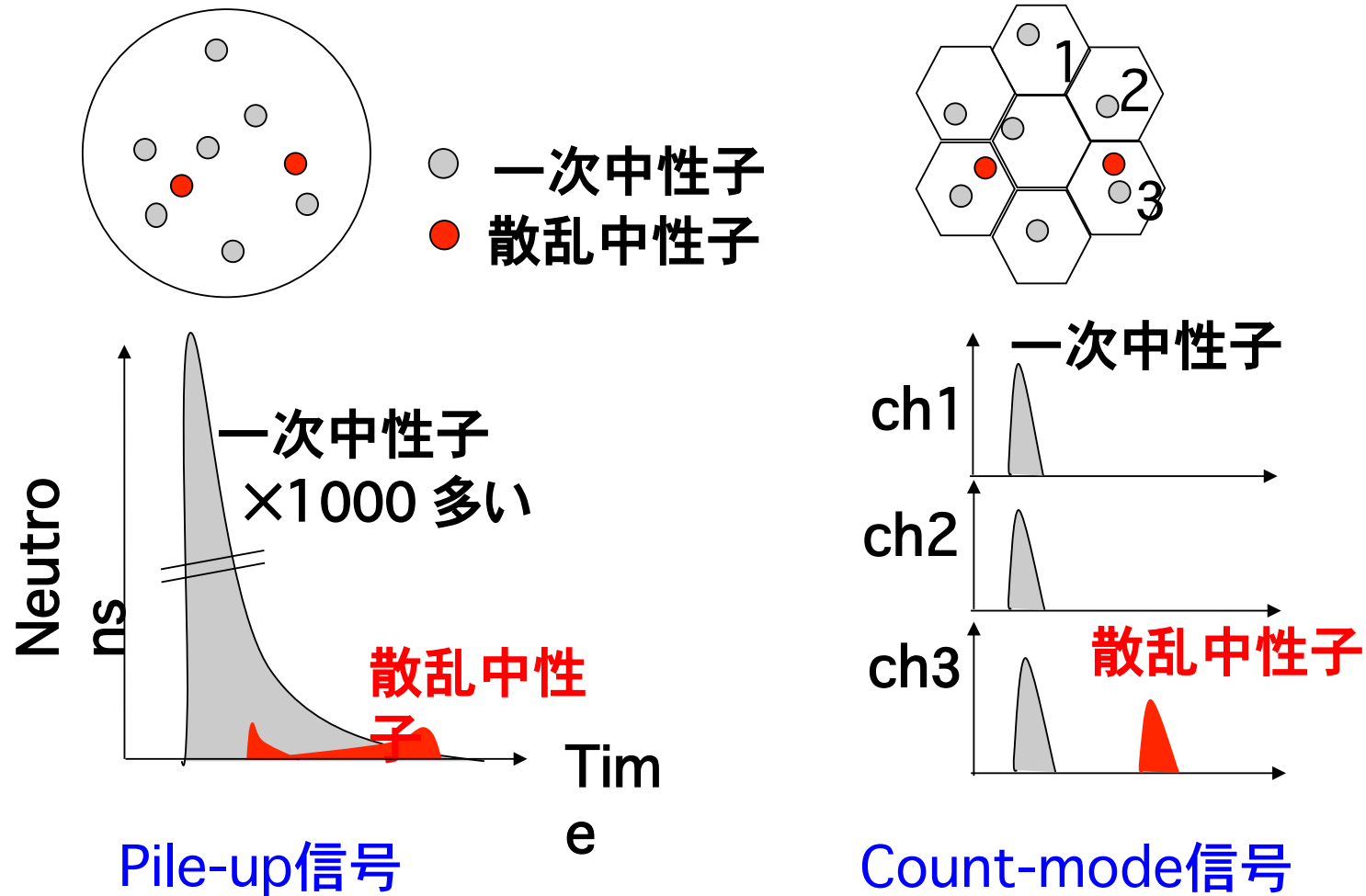
Fast response ^6Li scintillator APLF 80+3Pr



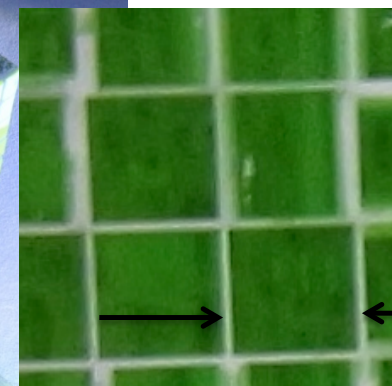
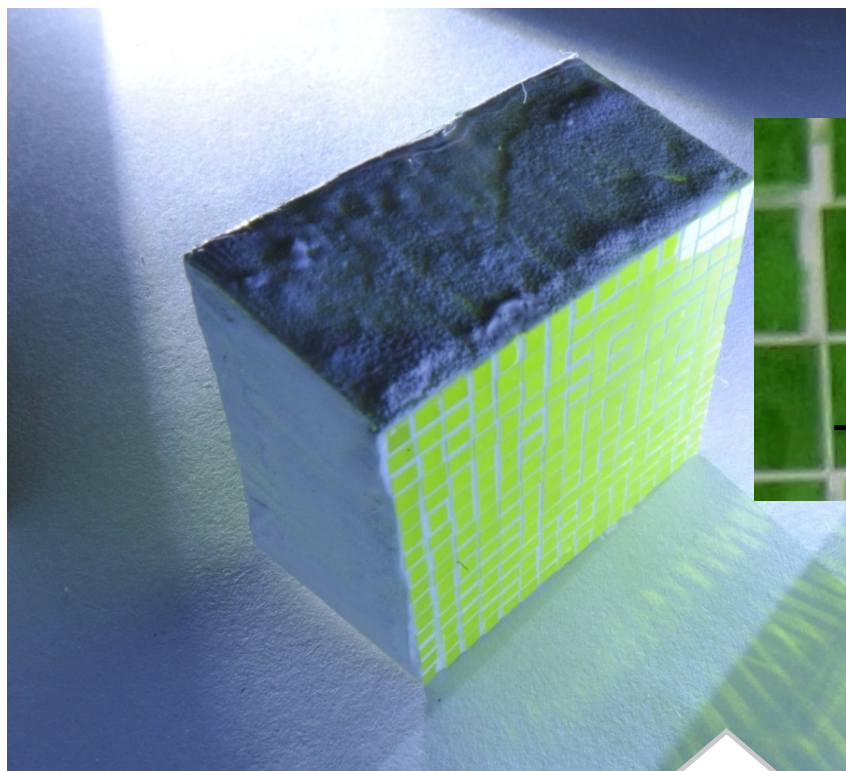
中性子源を用いた測定



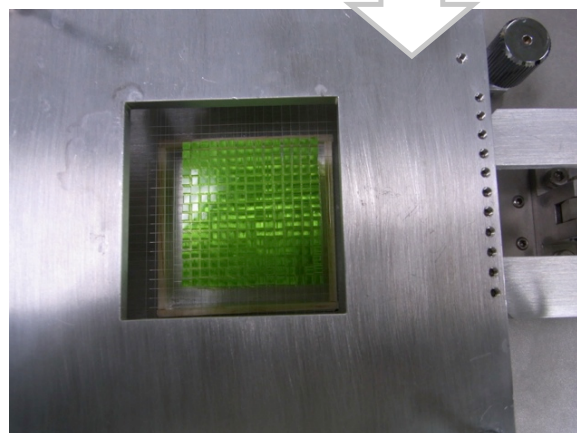
多チャンネルカウントモードで一次中性子信号を緩和



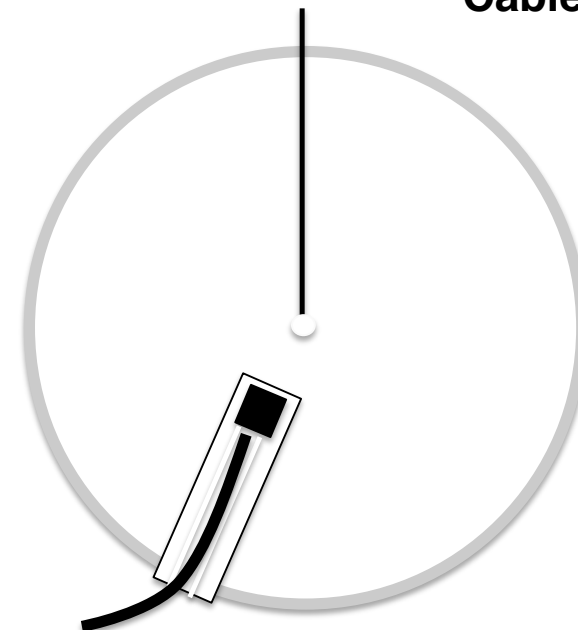
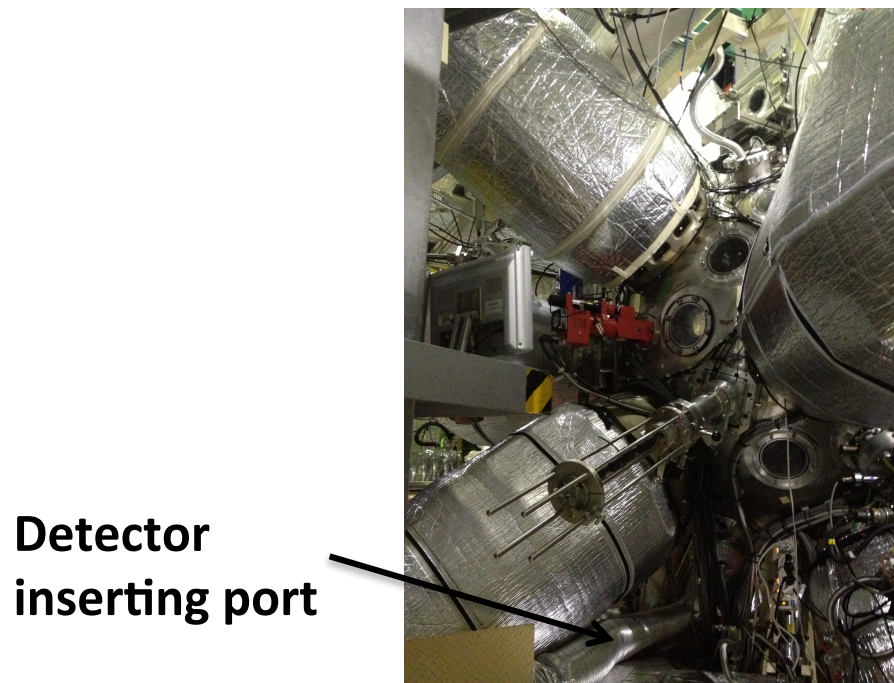
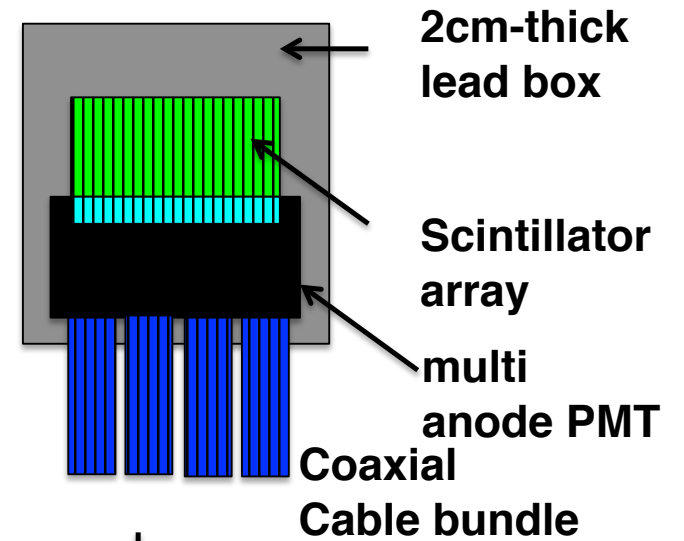
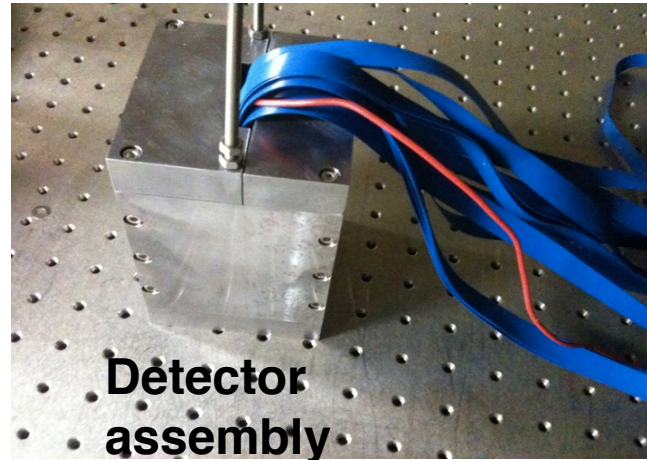
シンチレーターアレー



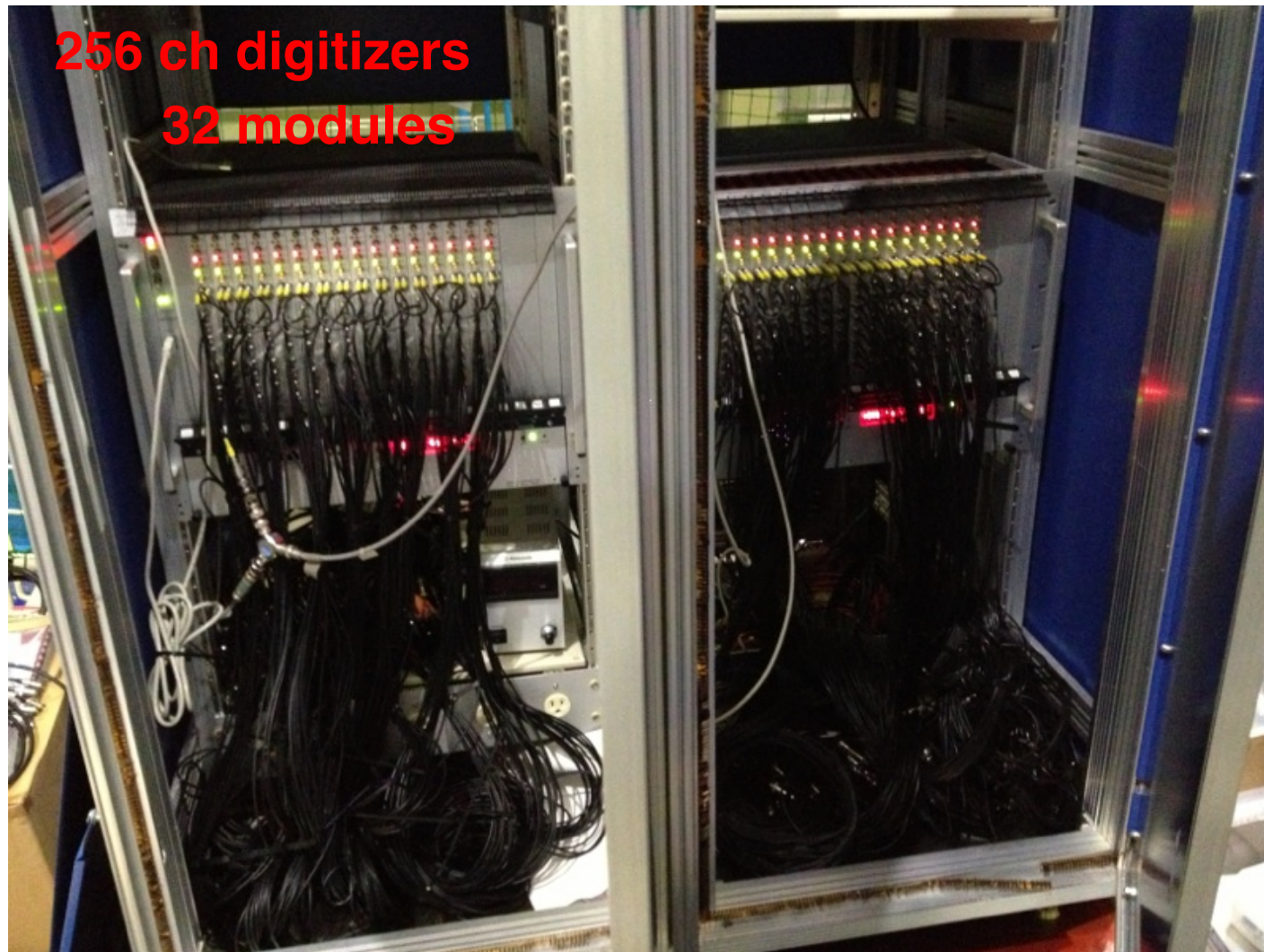
2 mm



多チャンネル計測部



多チャンネルカウントモード計測を実現

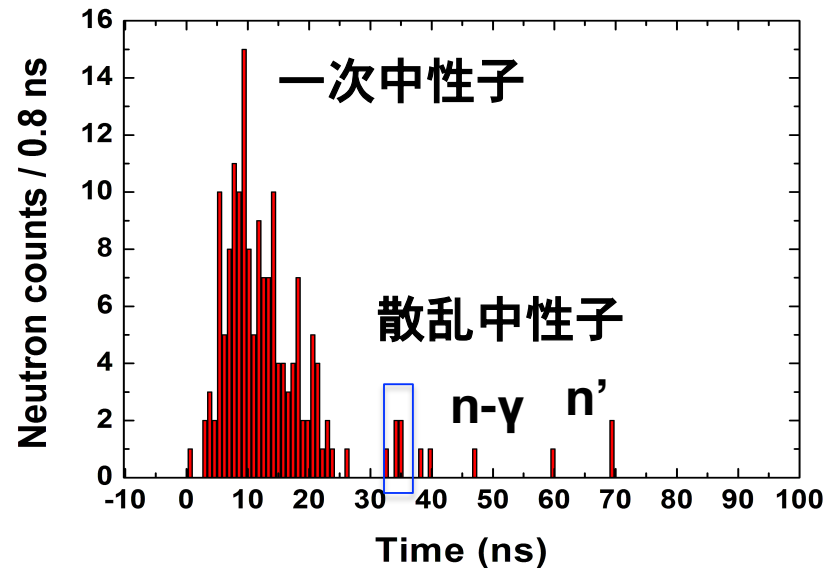
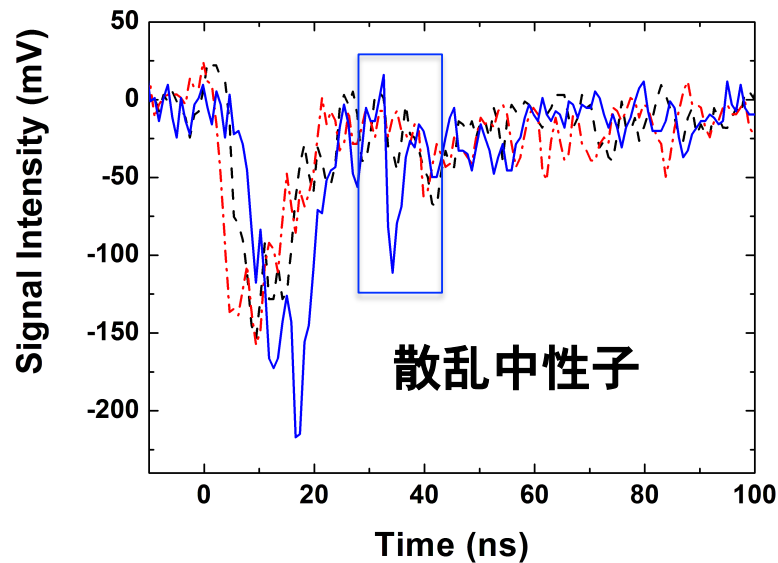
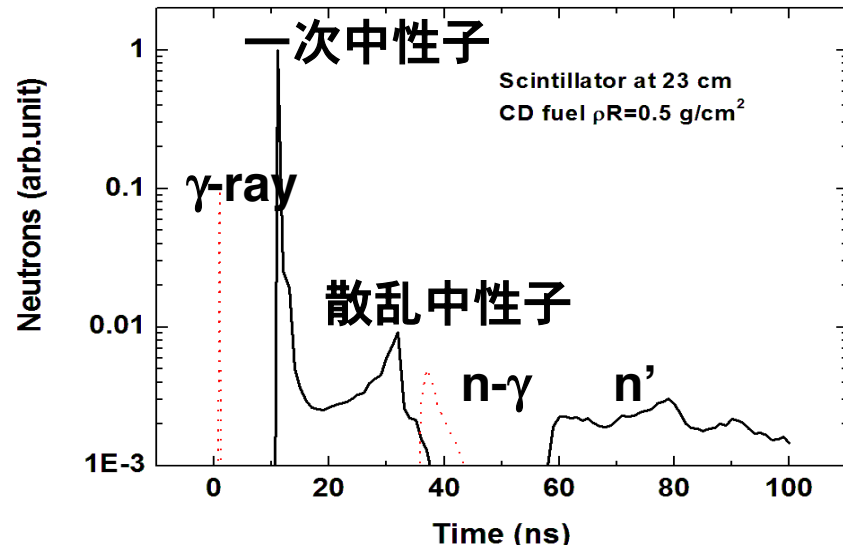
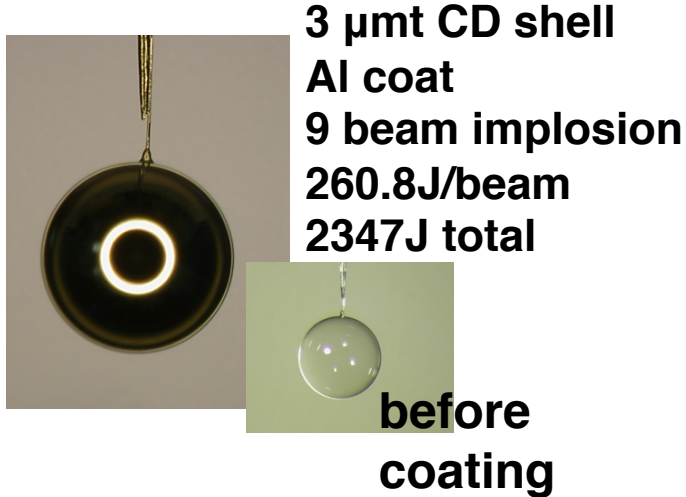


256 ch digitizers
32 modules

STRUCK
2GHz / 10 bit
digitizer
8ch / modules



散乱中性子の検出に成功



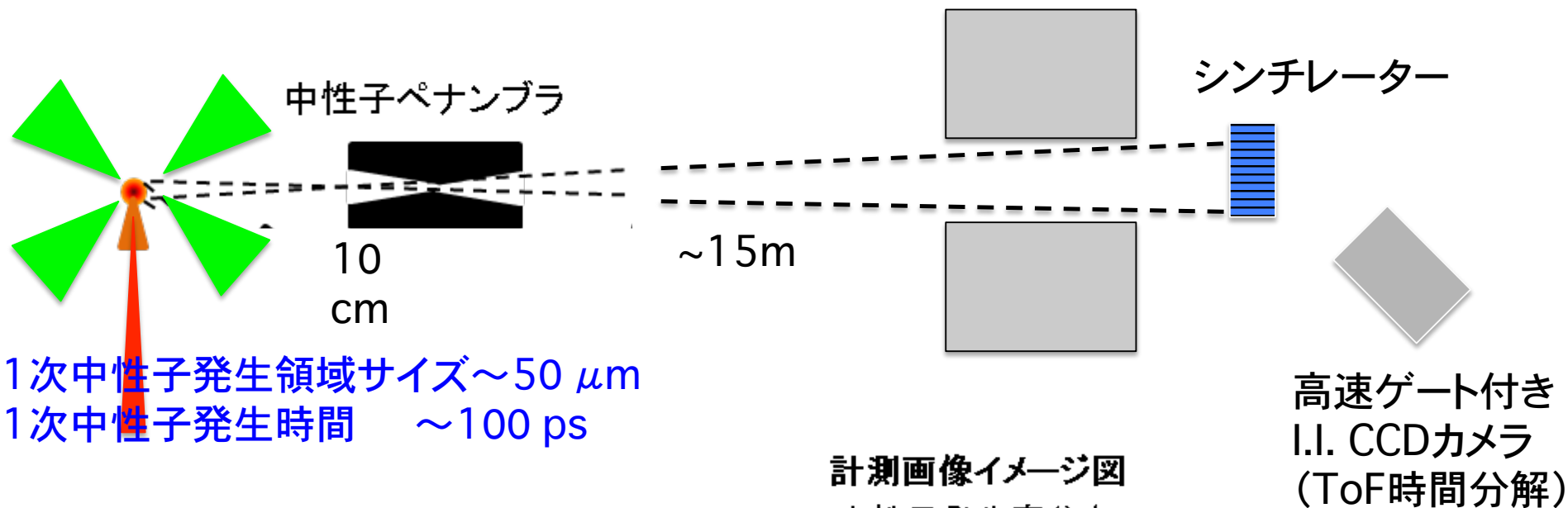
$$\rho R = 1.6 \cdot \frac{DSN}{pN} = 0.019 \text{ g/cm}^2 \text{ for D only, } 0.13 \text{ g/cm}^2 \text{ for CD}$$

散乱中性子計測:まとめ



1. 慣性核融合や核科学実験では1 MeV以下の低エネルギー中性子計測が必須となる。
2. 核融合散乱中性子計測を実現するために、多チャンネル式、高速⁶Liシンチレーションガラスを用いた多チャンネルカウントモード計測器を開発した。
3. 激光12号実験において、散乱中性子計測の検出に成功した。
4. 今後は計測の信頼性を議論できるよう、実験データを蓄積する。

4c. レーザー核融合における中性子画像計測

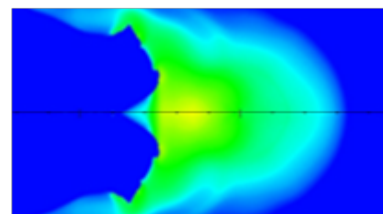


1次中性子発生領域サイズ $\sim 50 \mu\text{m}$
1次中性子発生時間 $\sim 100 \text{ ps}$

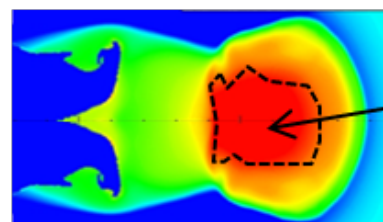


*OMEGAで使用されているもの

計測画像イメージ図
中性子発生率分布

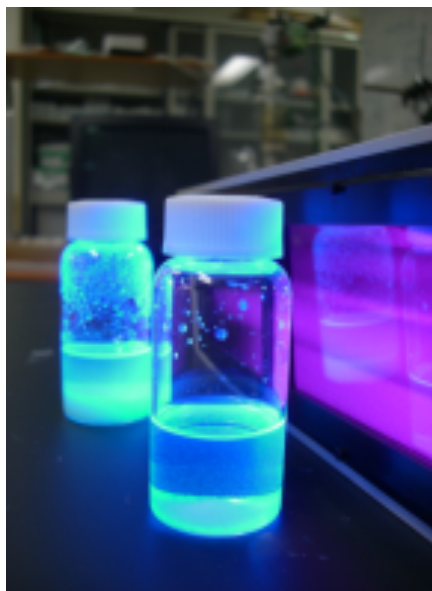


*PINOCOによる
シミュレーション



加熱により中性子発生
率が増大した領域

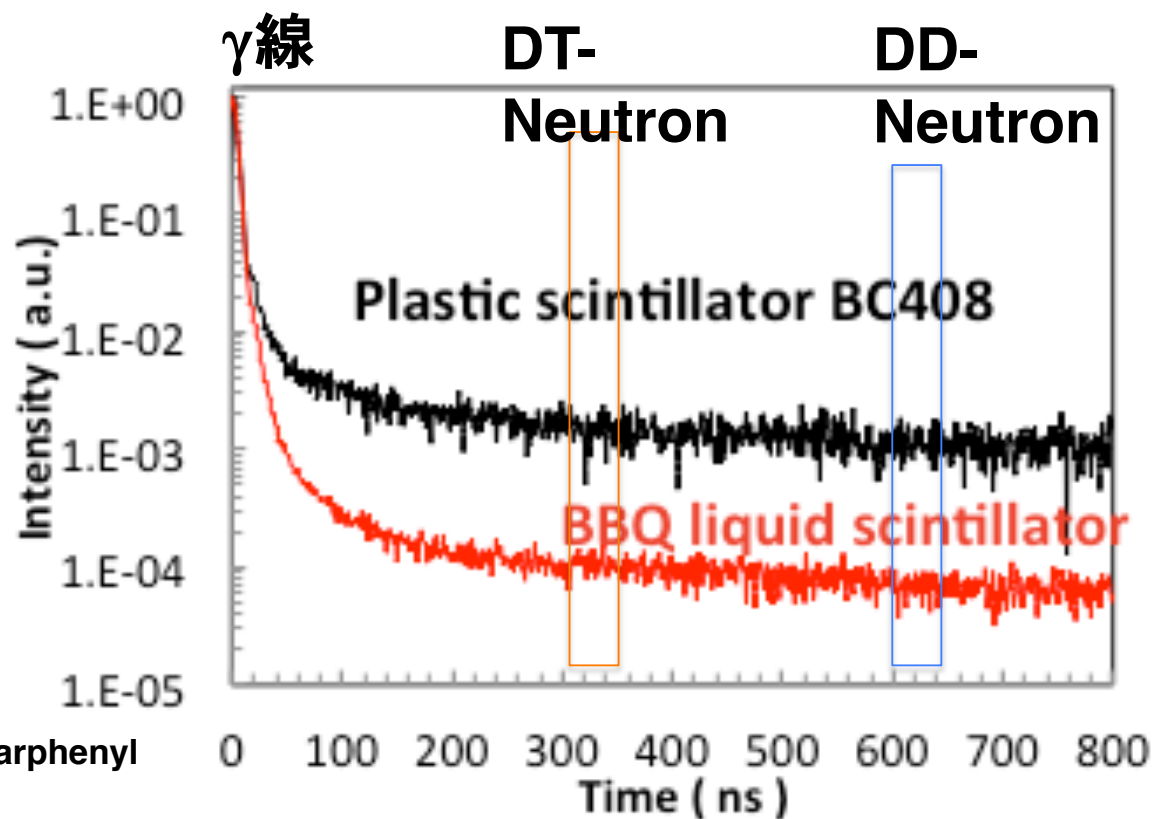
高速減衰液体シンチレーターを採用



scintillation :
BBQ (used for dye lasers)
4,4''-Bis-(2-butyl-oxy)-p-quatarphenyl

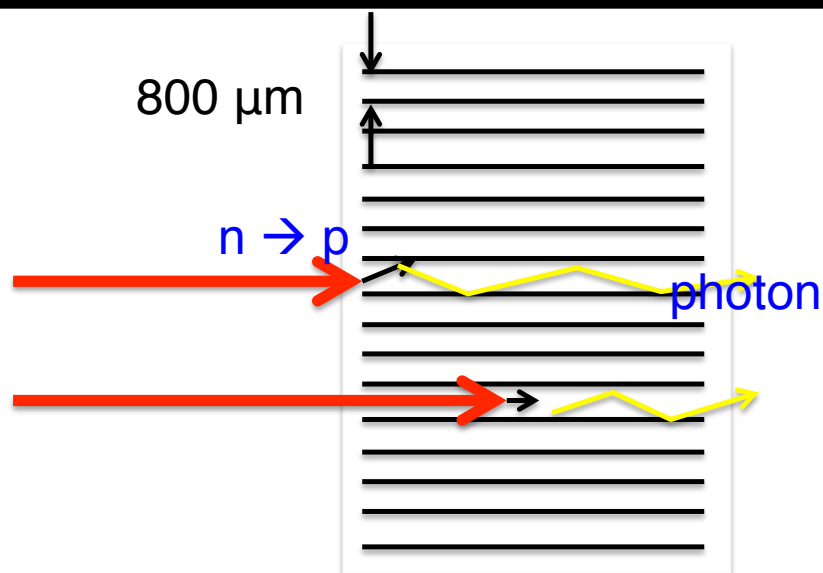
host : p-Xylene

Quenching by oxigen

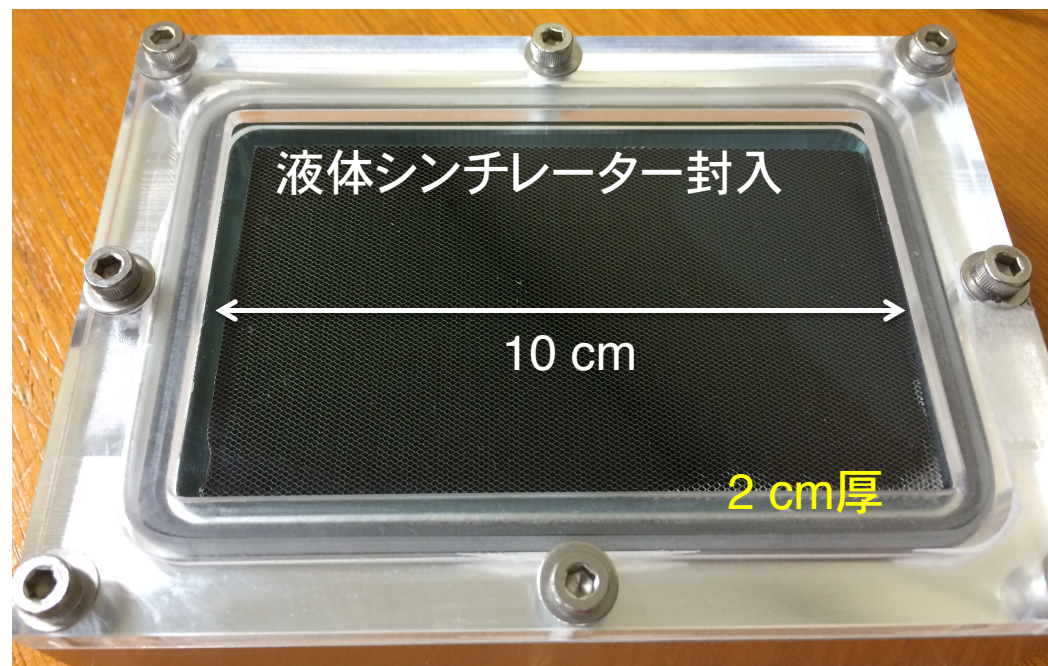
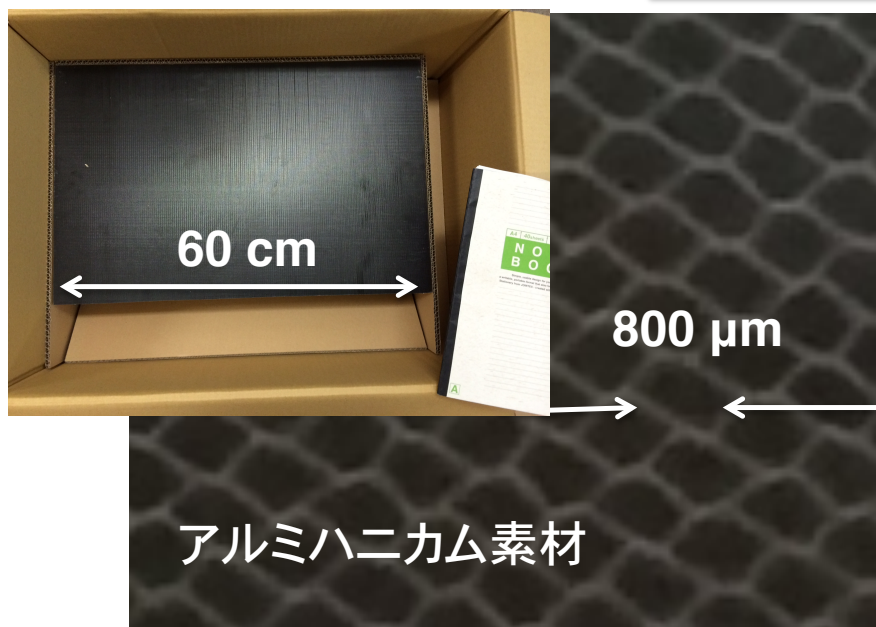


高速点火の強烈なγ線に対応できるよう、
高速減衰液体シンチレーターを採用

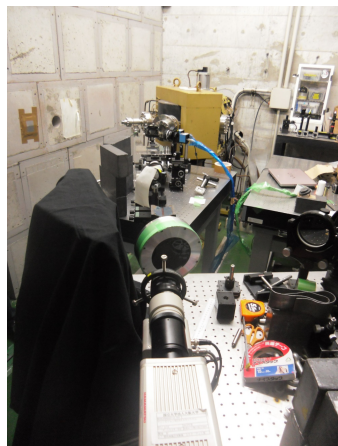
中性子→可視光変換部



14MeV中性子入射時の
プロトンの飛程(横向き)
~800 μm

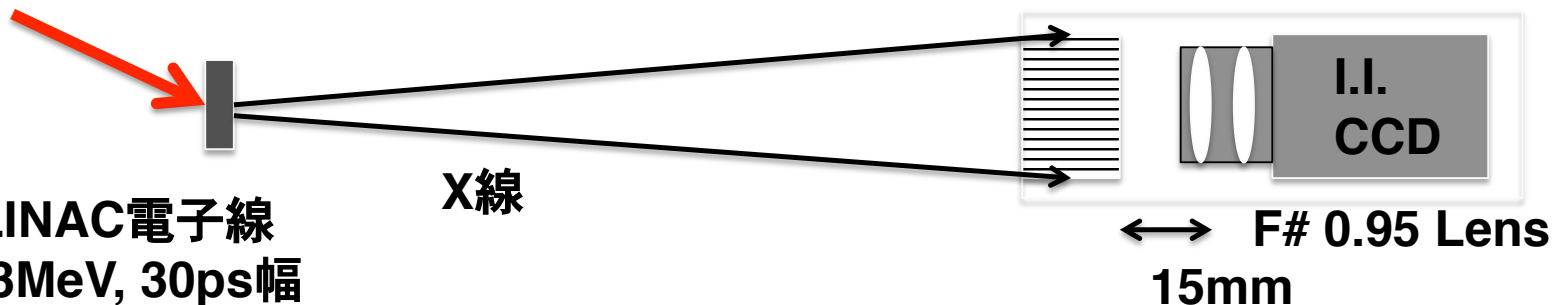


パルス γ 線でシンチレーターアレー発光パターンを観測

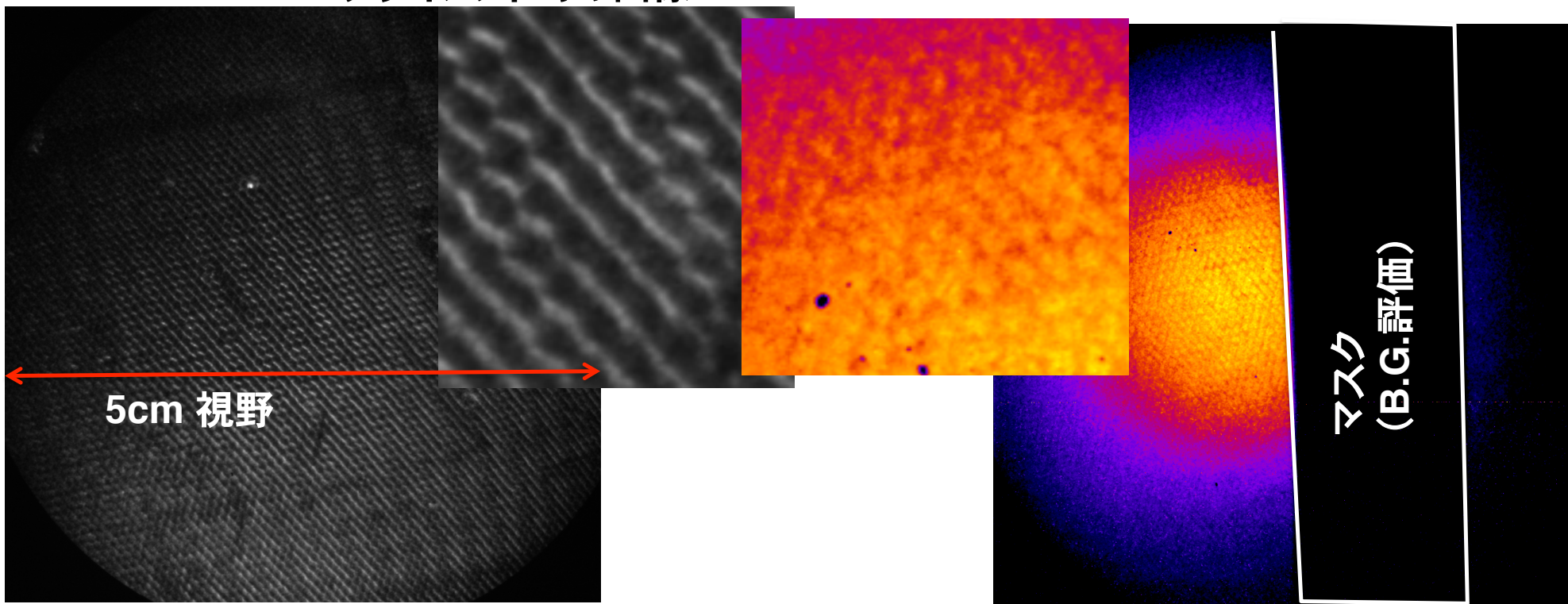


LINAC電子線
13MeV, 30ps幅

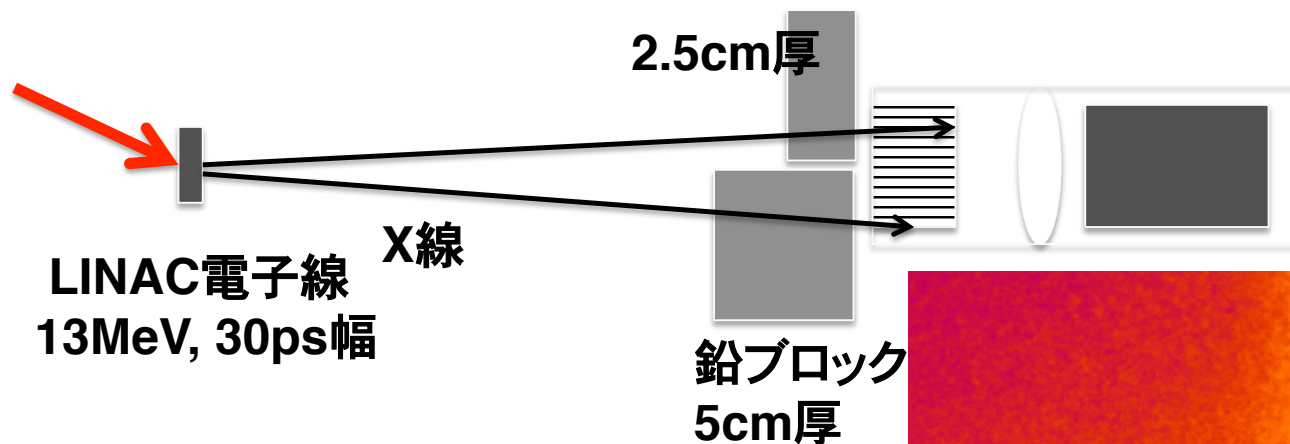
可視光
アライメント時の画像



シンチレーション画像



γ 線イメージング撮影に成功

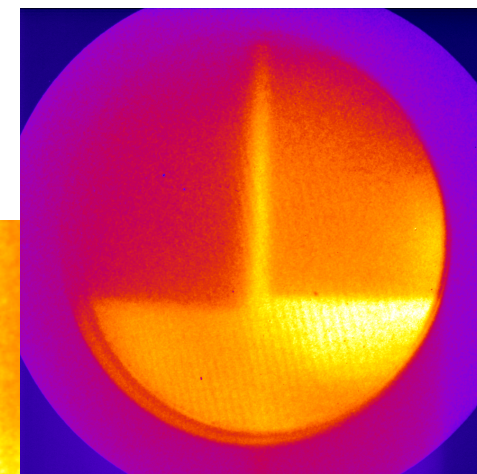
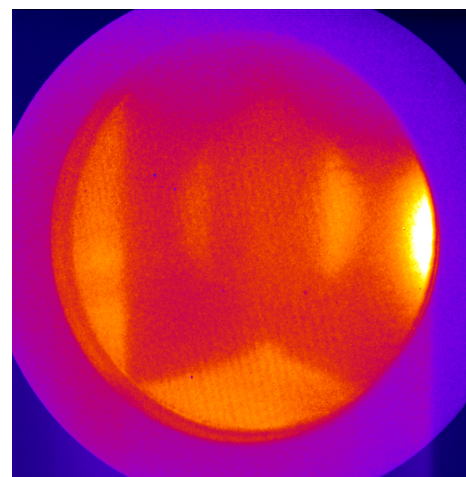


光学マウント
10cm



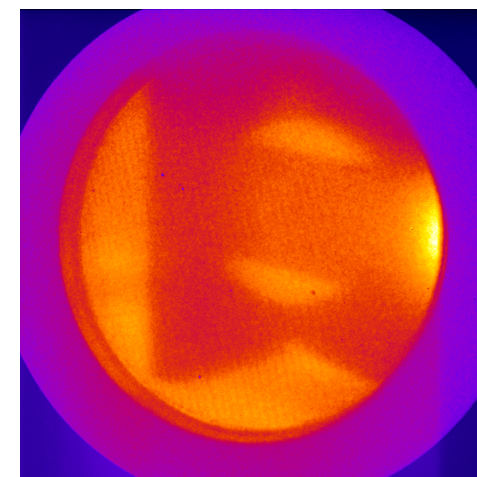
エッジのボケは
 γ 線(コンプトン電子の飛程)
によるもの

マグネット Off

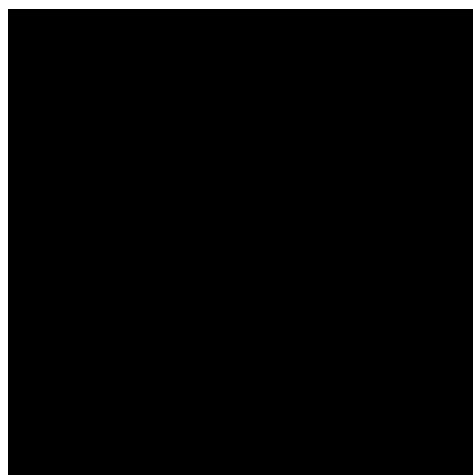
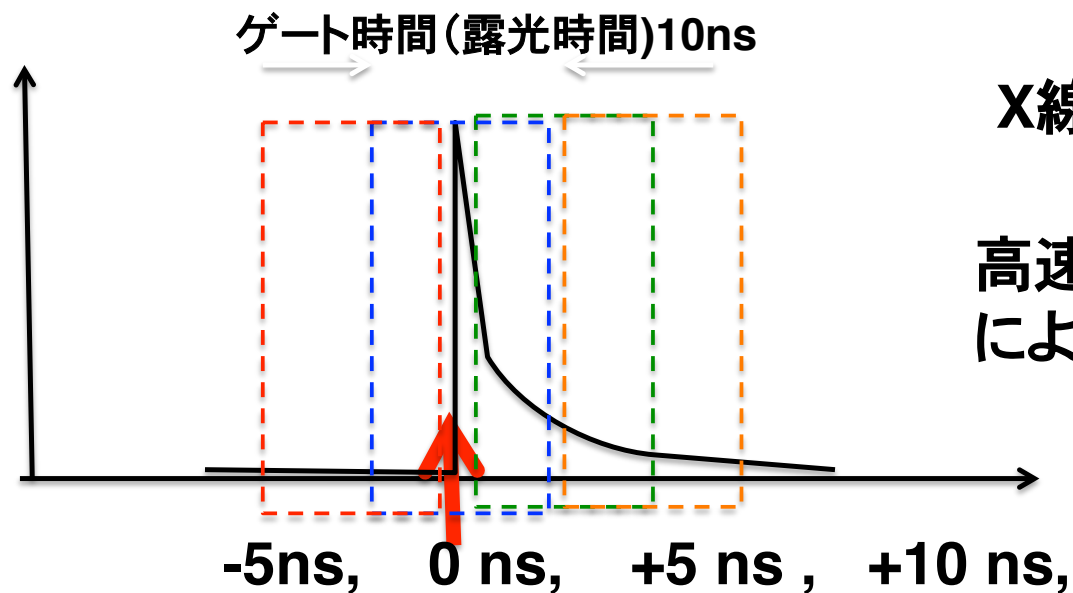


5センチメートルの鉛を透過
→数MeV以上のX線

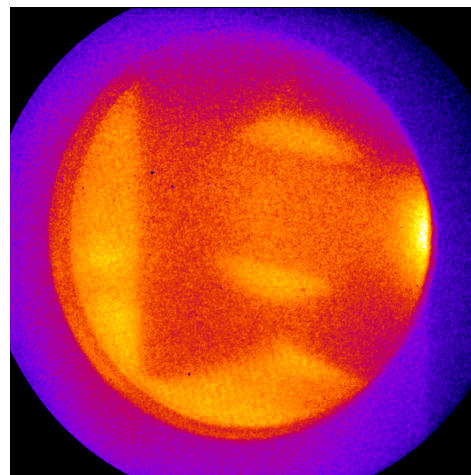
マグネット On



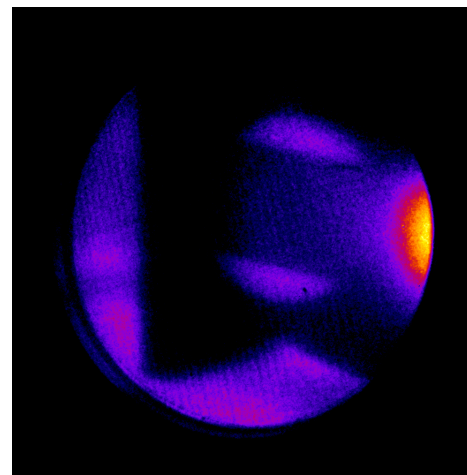
5nsの高速シャッターを実証



-5 ns



0 ns



5 ns



10 ns

高時間分解中性子画像計測:まとめ



1. 高速減衰液体シンチレータを用いた高時間分解(ゲート)中性子画像計測器を開発した。
2. 10cm級検出器上で800 μm の空間分解能を実現した。
3. 5 nsの高速ゲートを実現した。
4. LINAC装置の γ 線での動作試験に成功した。
5. 激光12号実験にけるエネルギー選択(ToF)した中性子画像計測のみならず、様々な中性子画像計測に応用可能である。

5. Summary of the talk



1. FIREX project

Fast Ignition research

Experiments with LFEX laser

2. Ultra-fast X-ray imaging diagnostics

Sampling-image x-ray streak camera

3. Hard x-ray and EMP harsh environment

X-ray framing cameras

X-ray streak cameras

4. Neutron diagnostics

Neutron detectors in (γ , n) environment

Scattered neutron measurement

Time-resolved neutron imaging

5. *Various new plasma diagnostic instruments are working very well in Fast Ignition laser fusion experiments.*